

PHYSIQUE DES COMPOSANTS SEMI-CONDUCTEURS

XIII) Circuits analogiques en CMOS

P.A. Besse

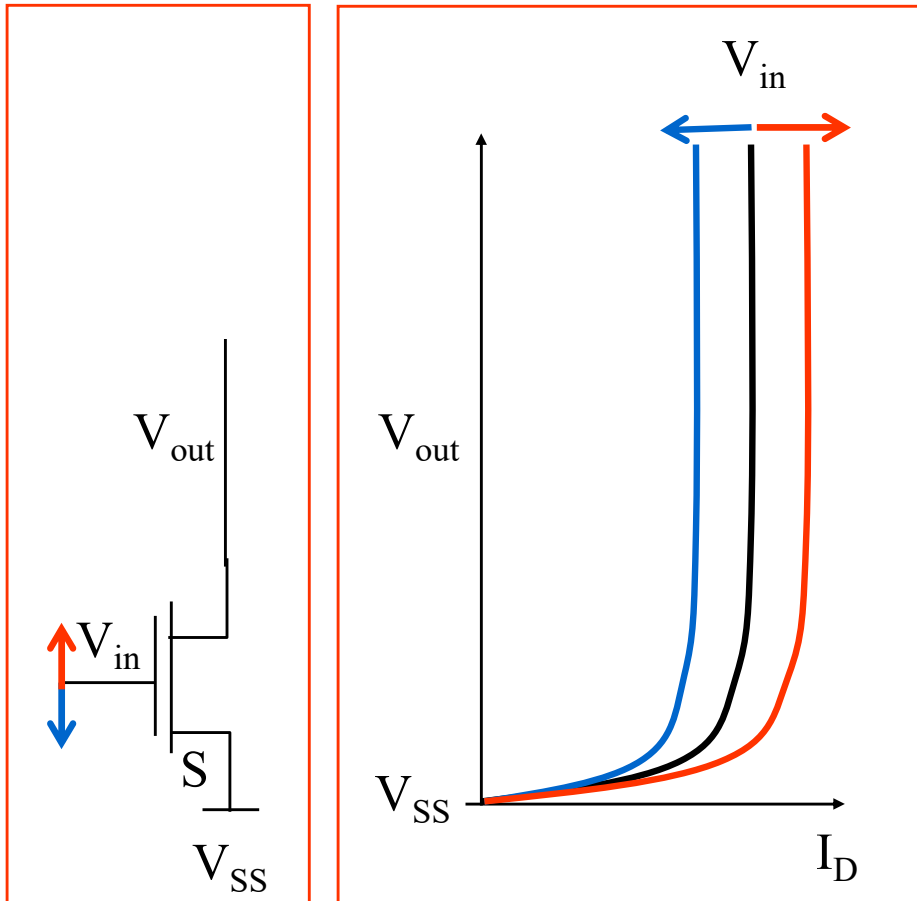
EPFL

Résumé

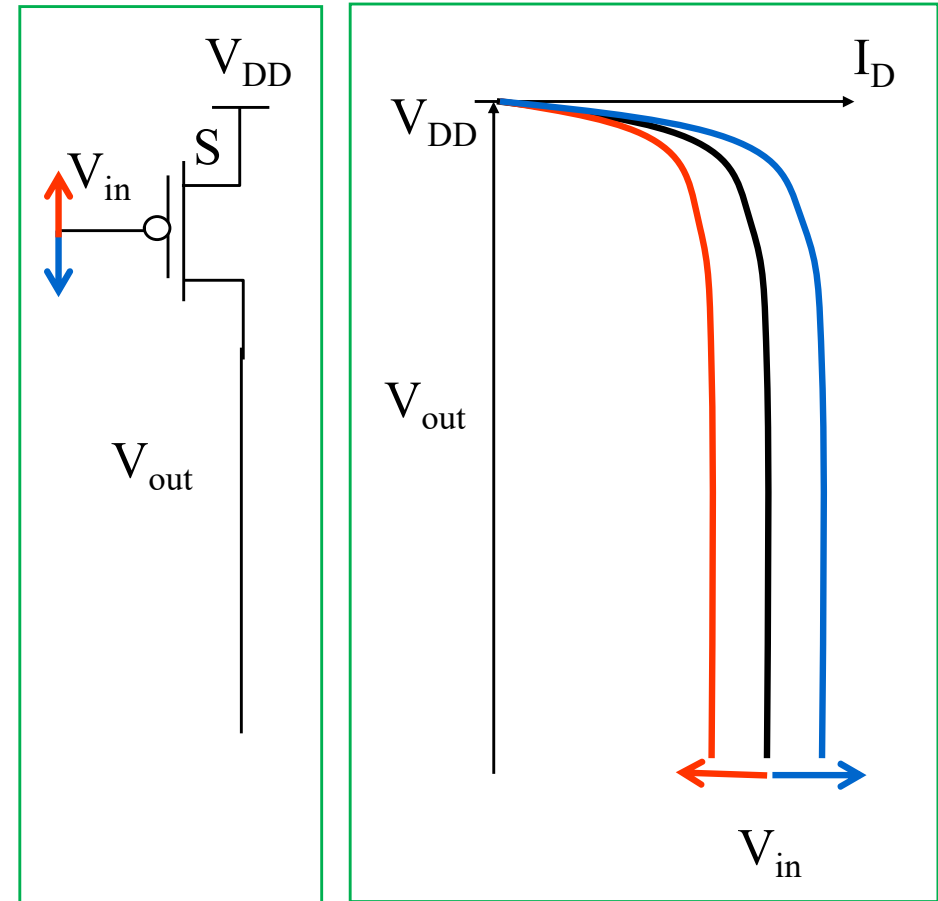
des courbes caractéristiques

des MOS

N-MOS



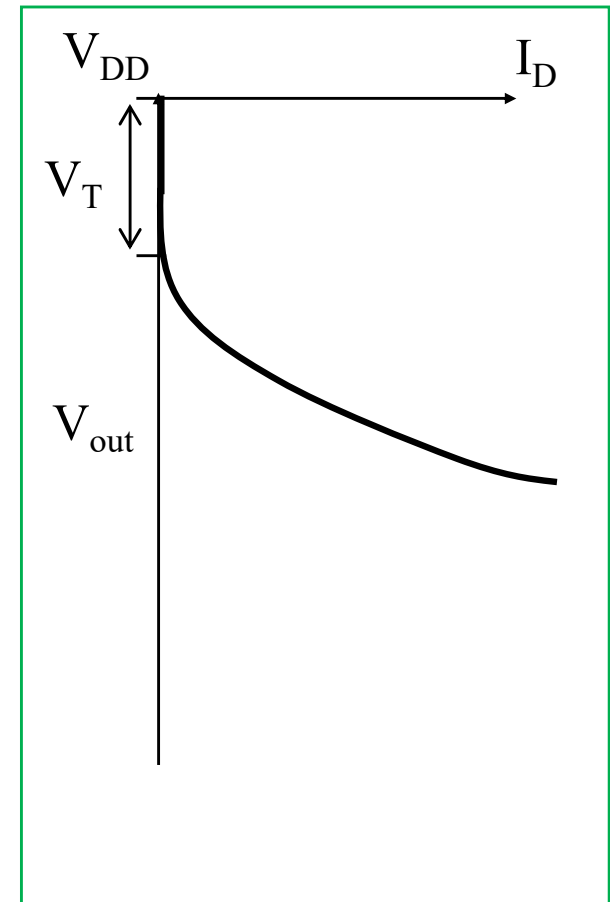
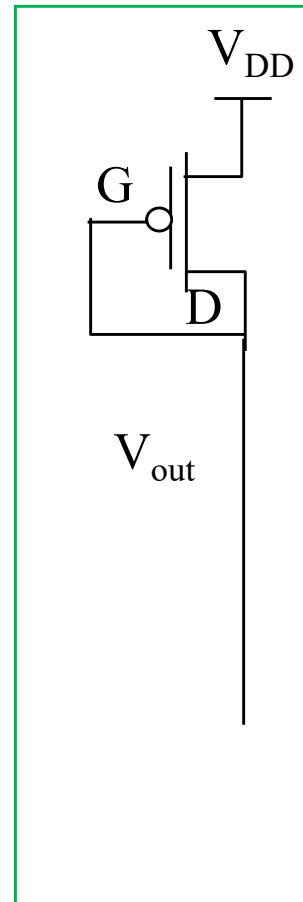
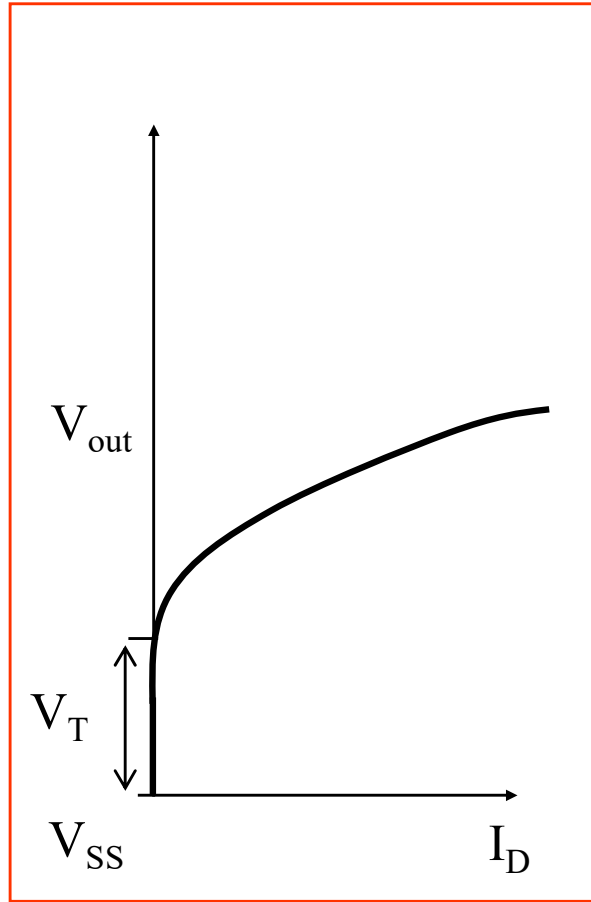
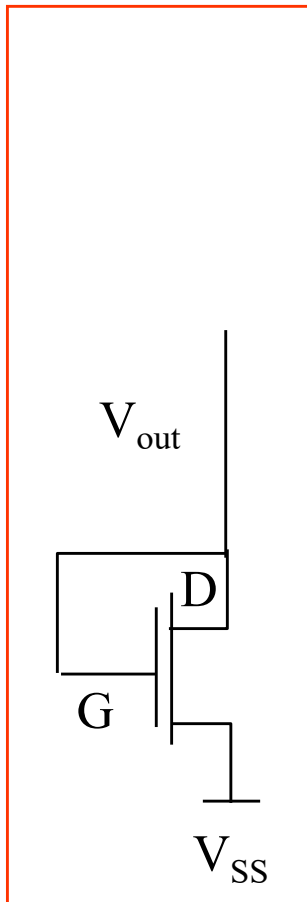
P-MOS



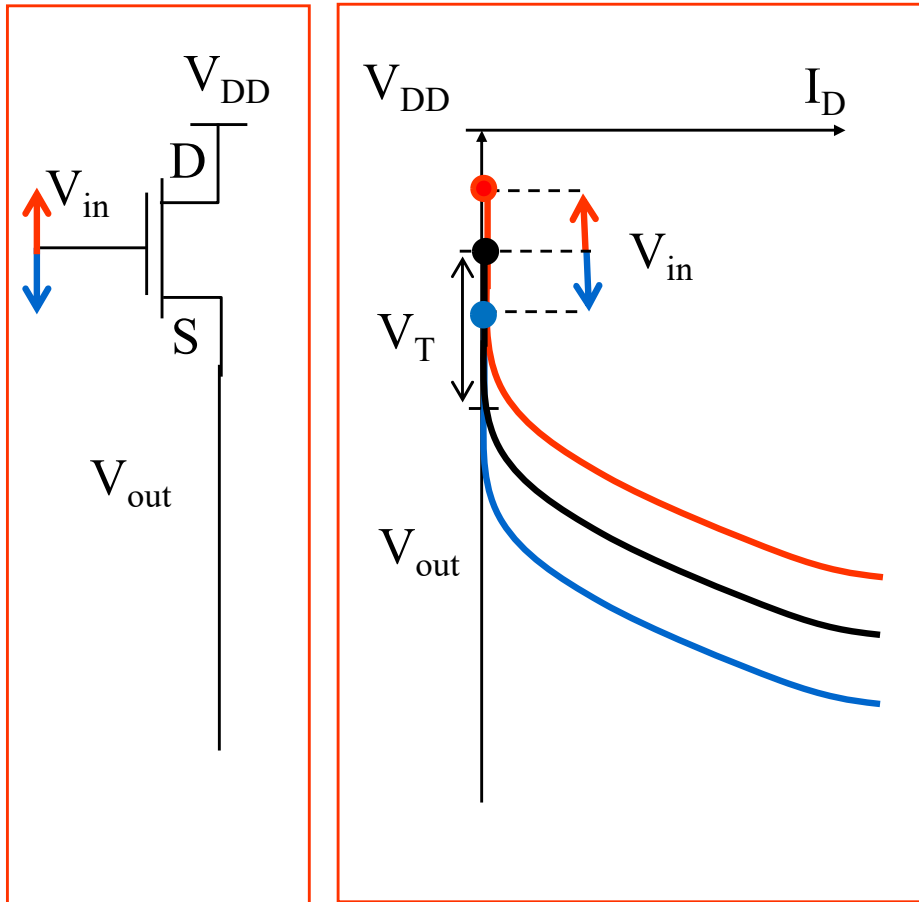
N-MOS

« gate – drain reliés »

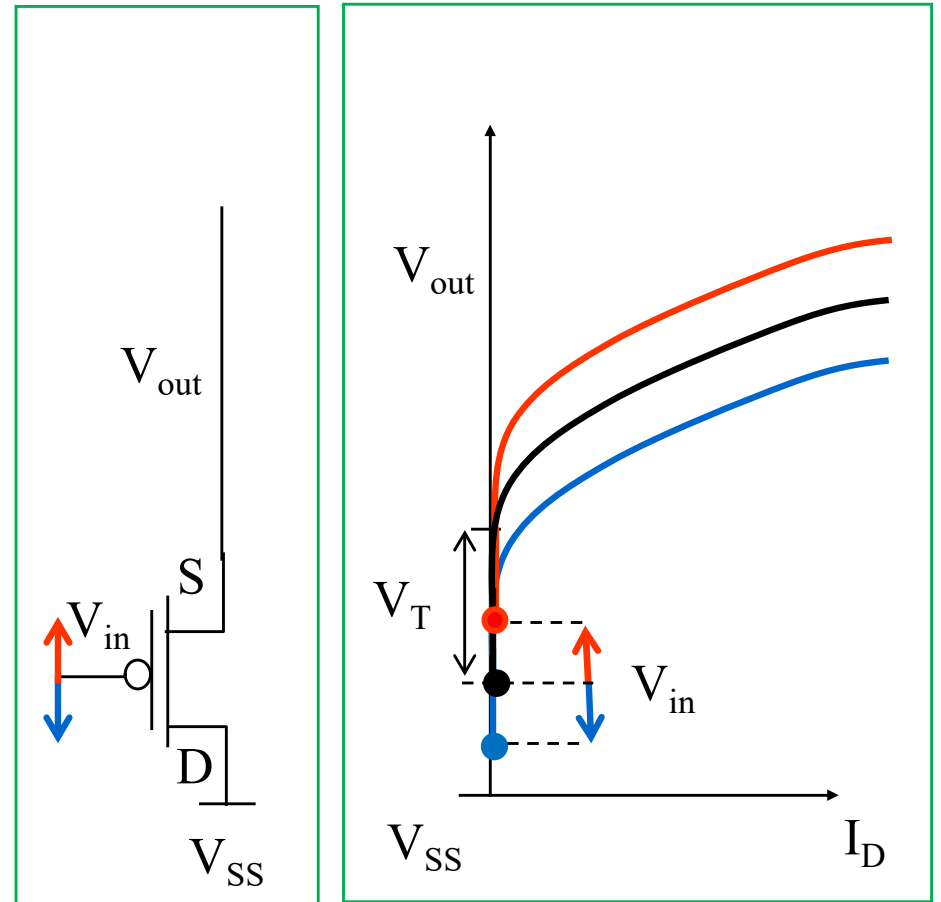
P-MOS



N-MOS

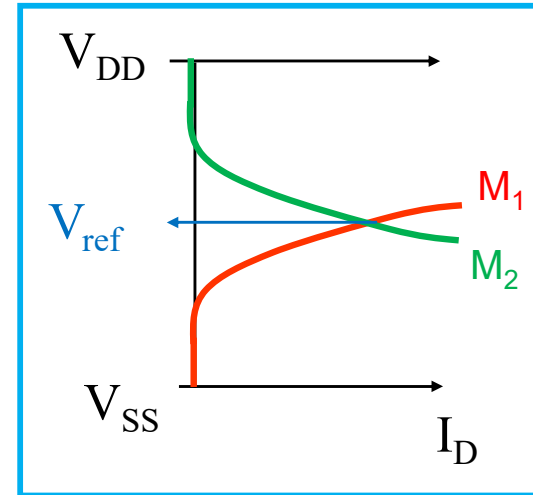
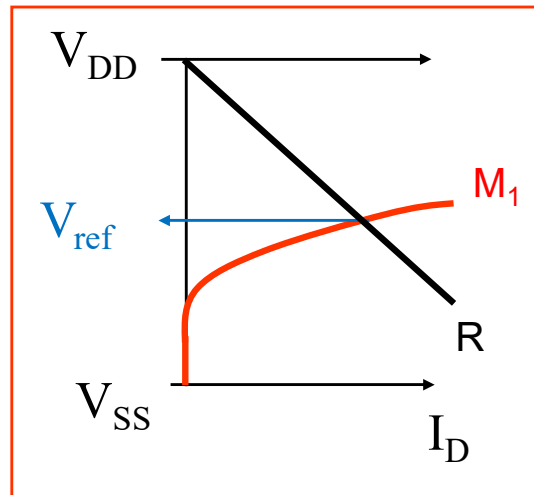
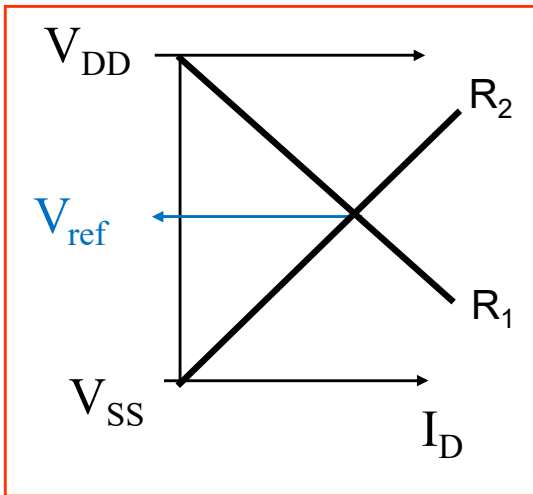
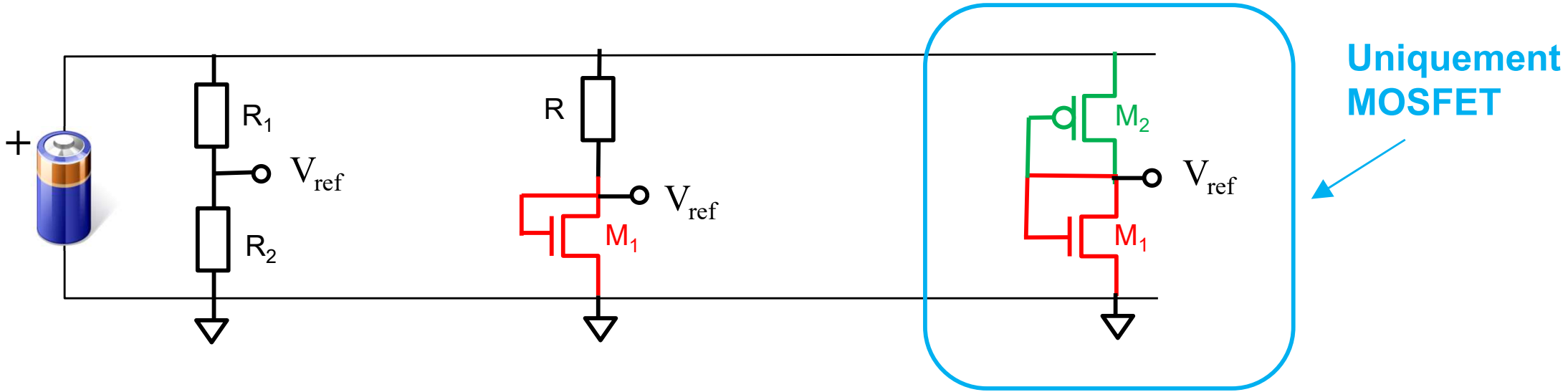


P-MOS



Diviseurs de tension

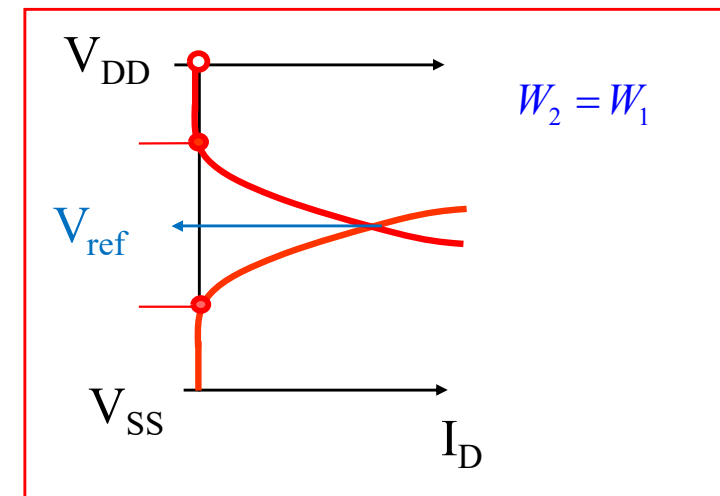
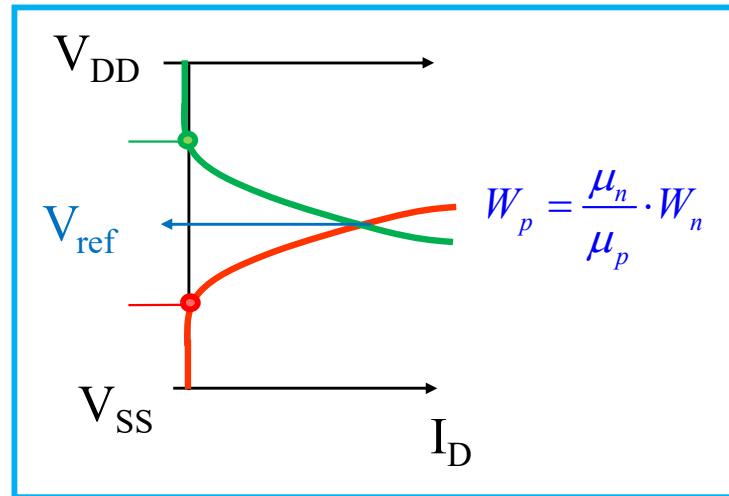
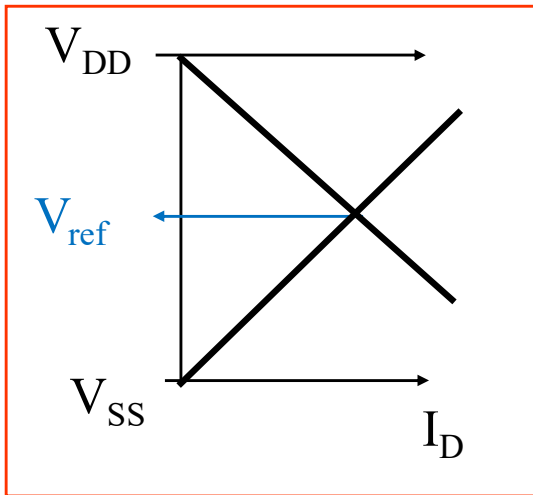
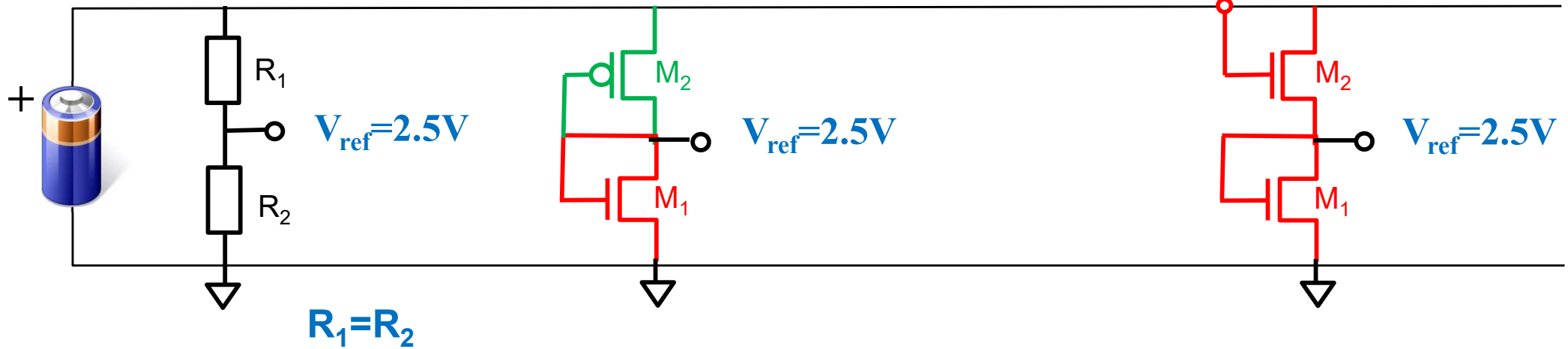
Diviseurs de tension



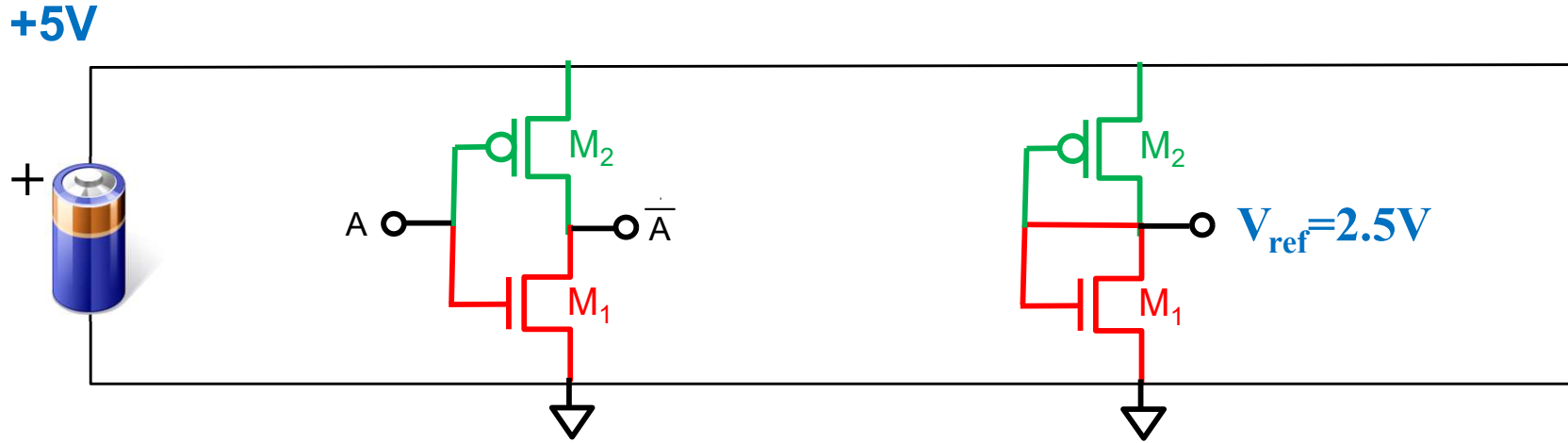
Question: Diviseurs de tension

Pile de 5V: comment obtenir 2.5V pour V_{ref} ?

+5V

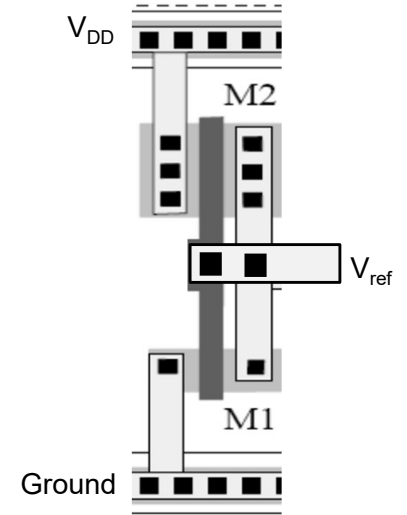
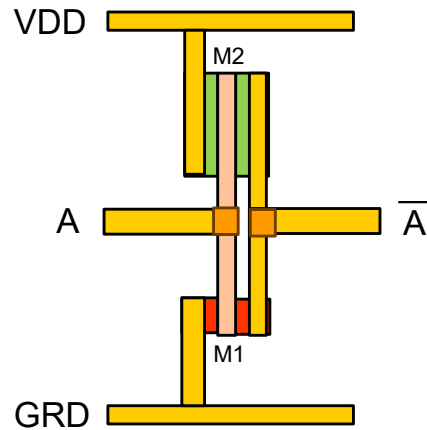
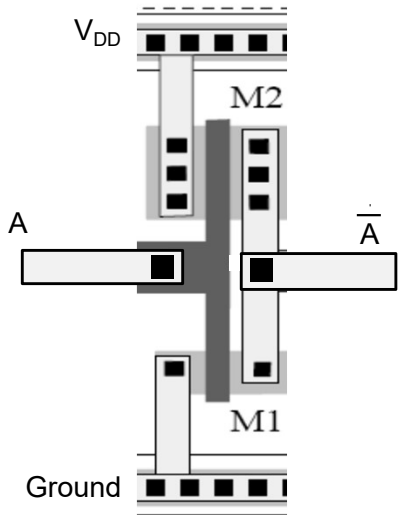


Comparaison: Inverseur / Diviseurs de tension



Inverseur

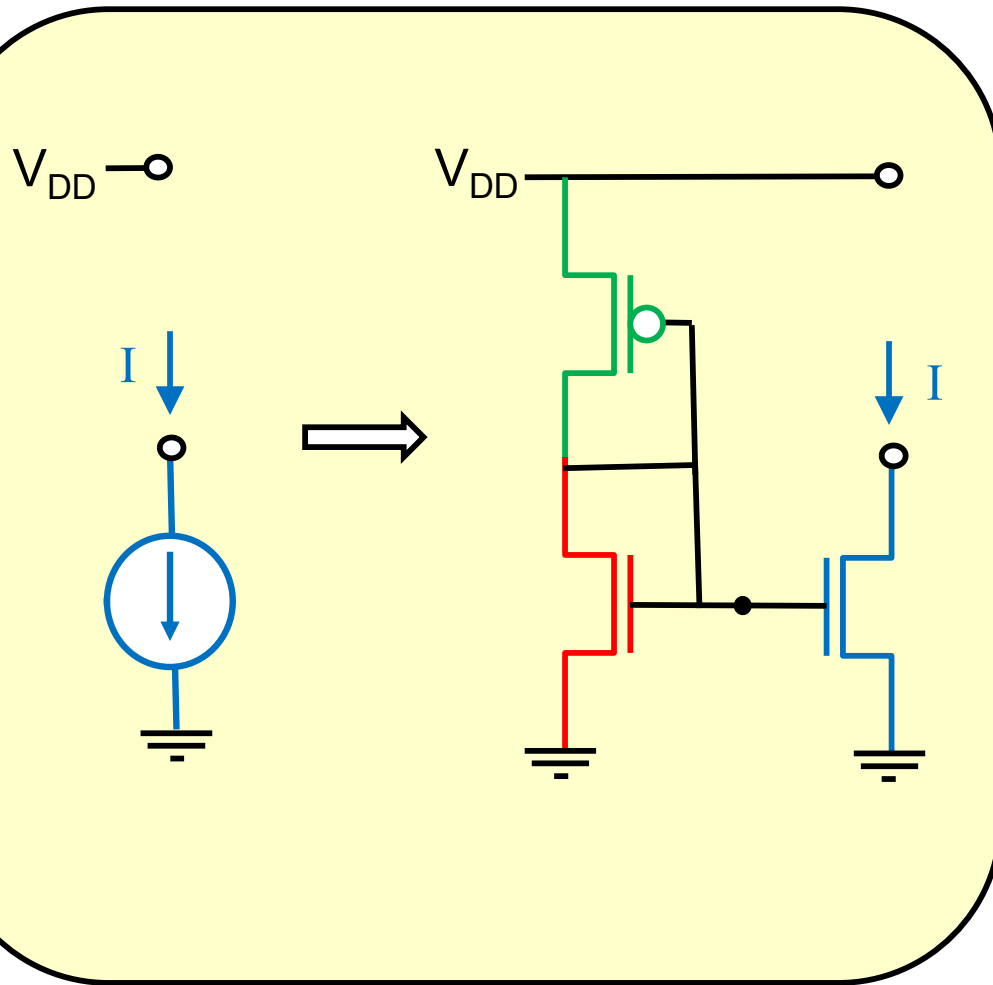
Diviseur de tension



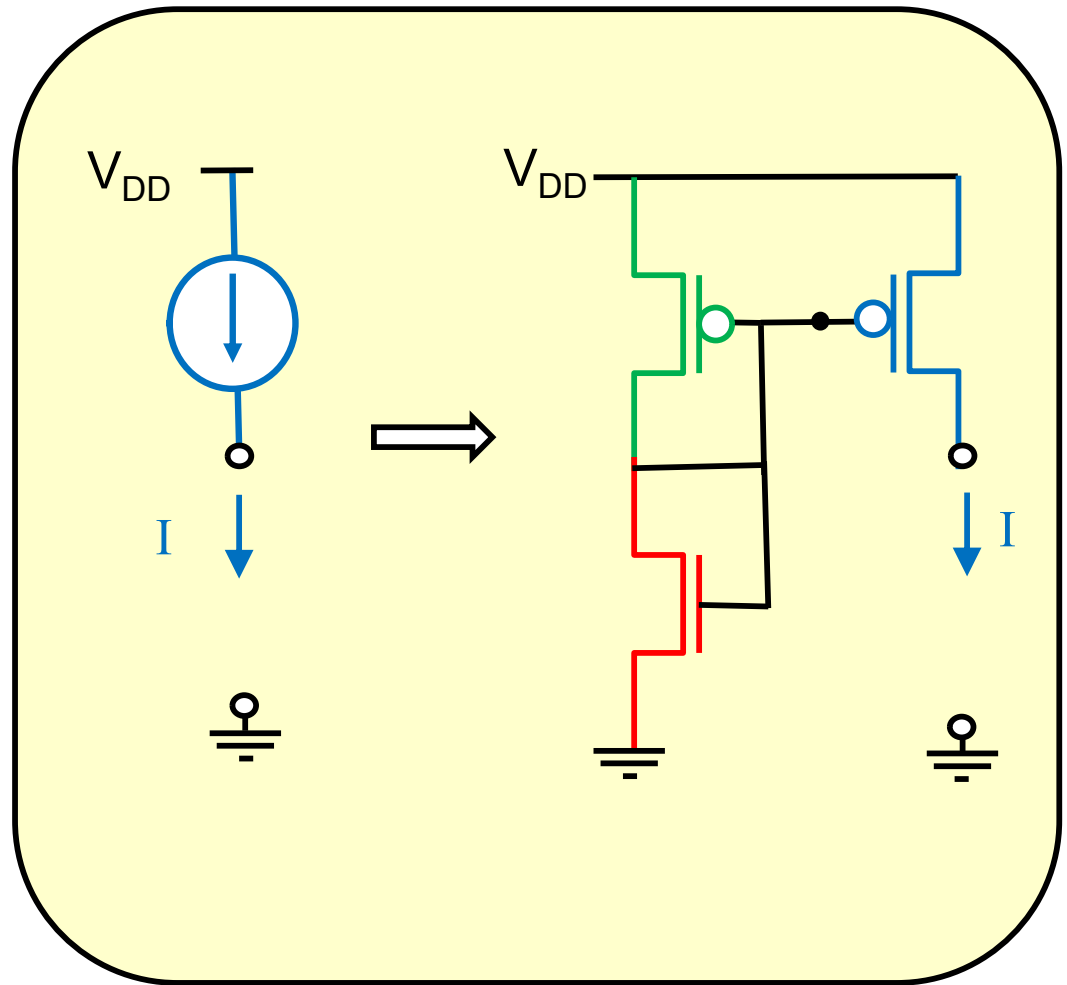
Sources et miroirs de courant

Source de courant simple (1)

NMOS comme source de courant



PMOS comme source de courant

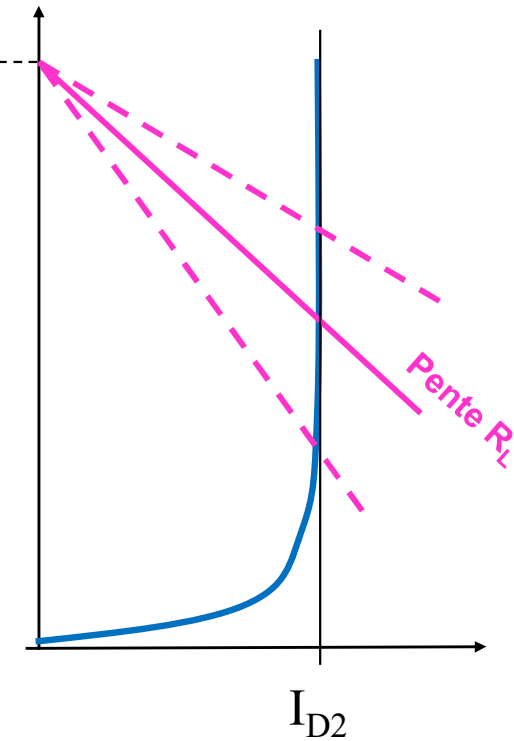
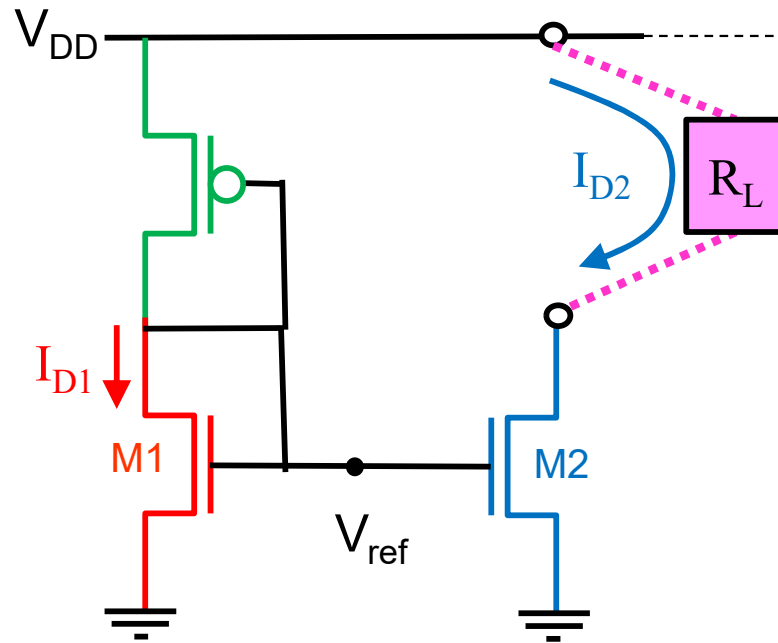
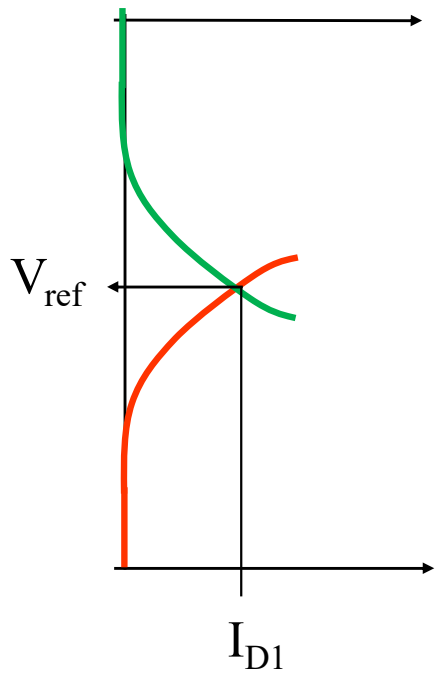


Source de courant simple (2)

Diviseur de tension

Source de courant

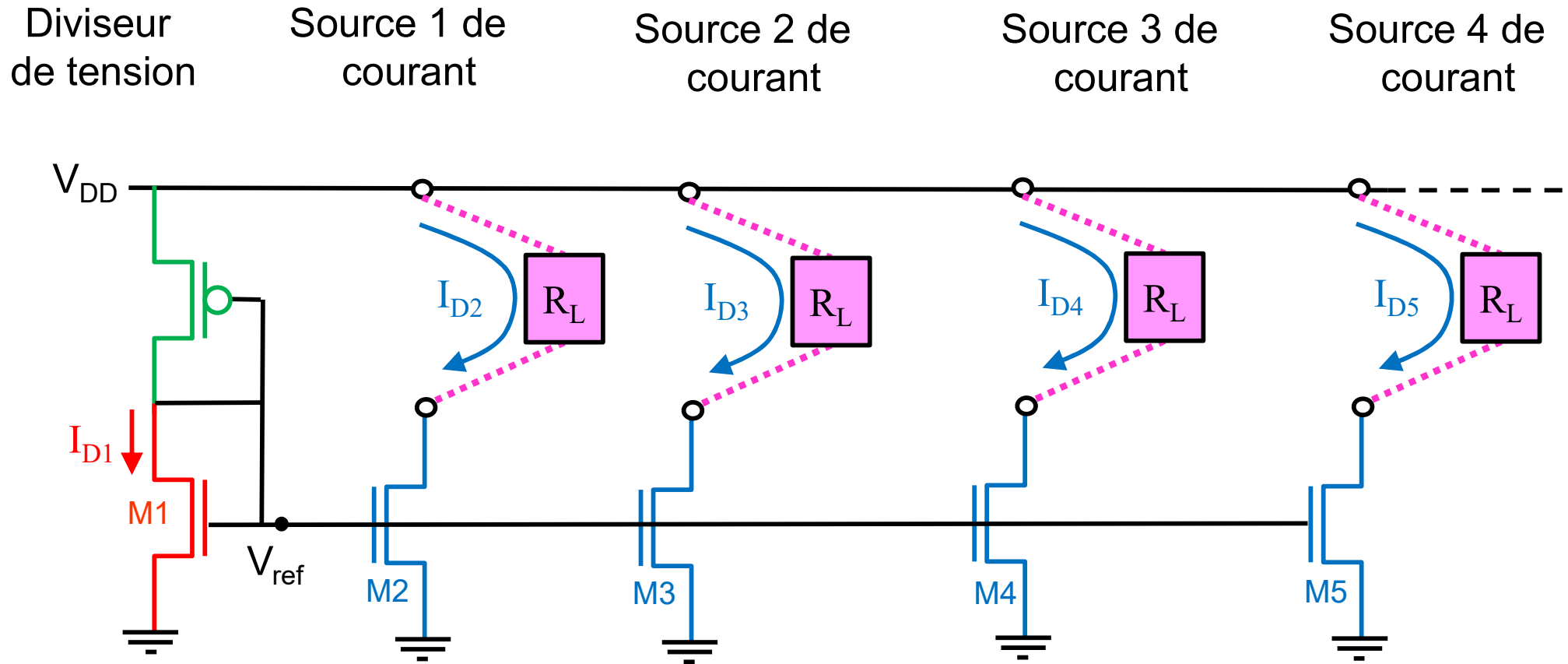
Charge traversée par un courant constant



Un diviseur de tension sert à contrôler un NMOS

$$I_{D2} = \frac{W_2}{W_1} \frac{L_1}{L_2} \cdot I_{D1}$$

NMOS comme multiple sources de courant



$$I_{Dn} = \frac{W_n}{W_1} \frac{L_1}{L_n} \cdot I_{D1}$$

PMOS comme multiple sources de courant

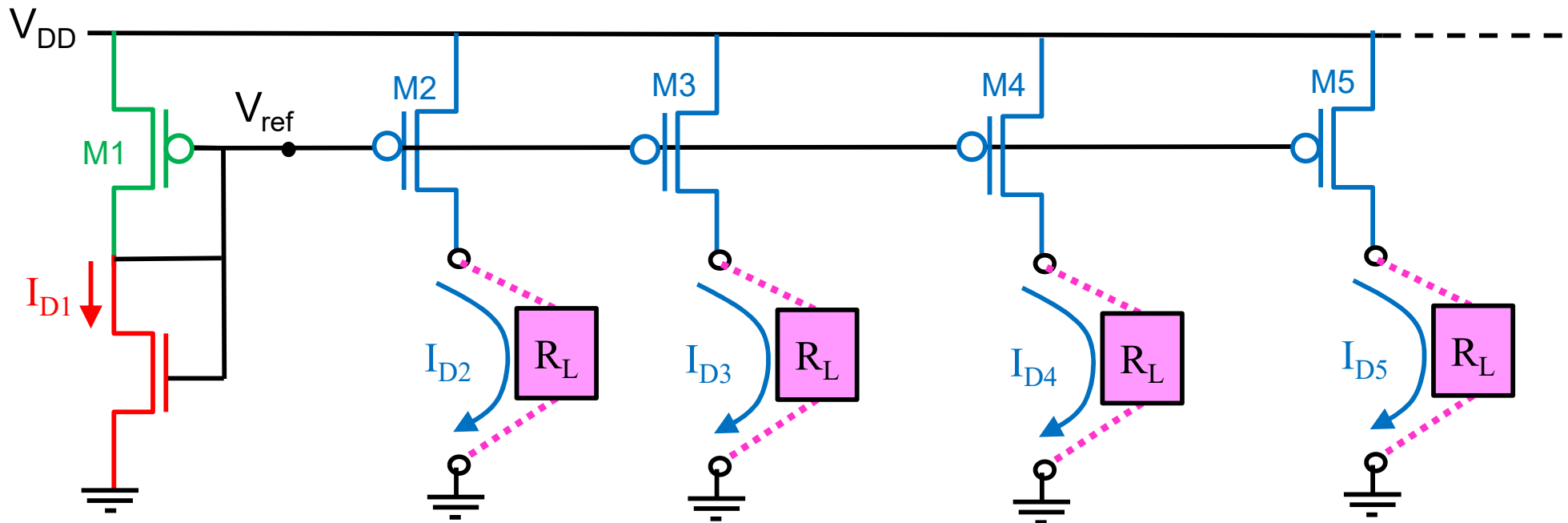
Diviseur
de tension

Source 1 de
courant

Source 2 de
courant

Source 3 de
courant

Source 4 de
courant

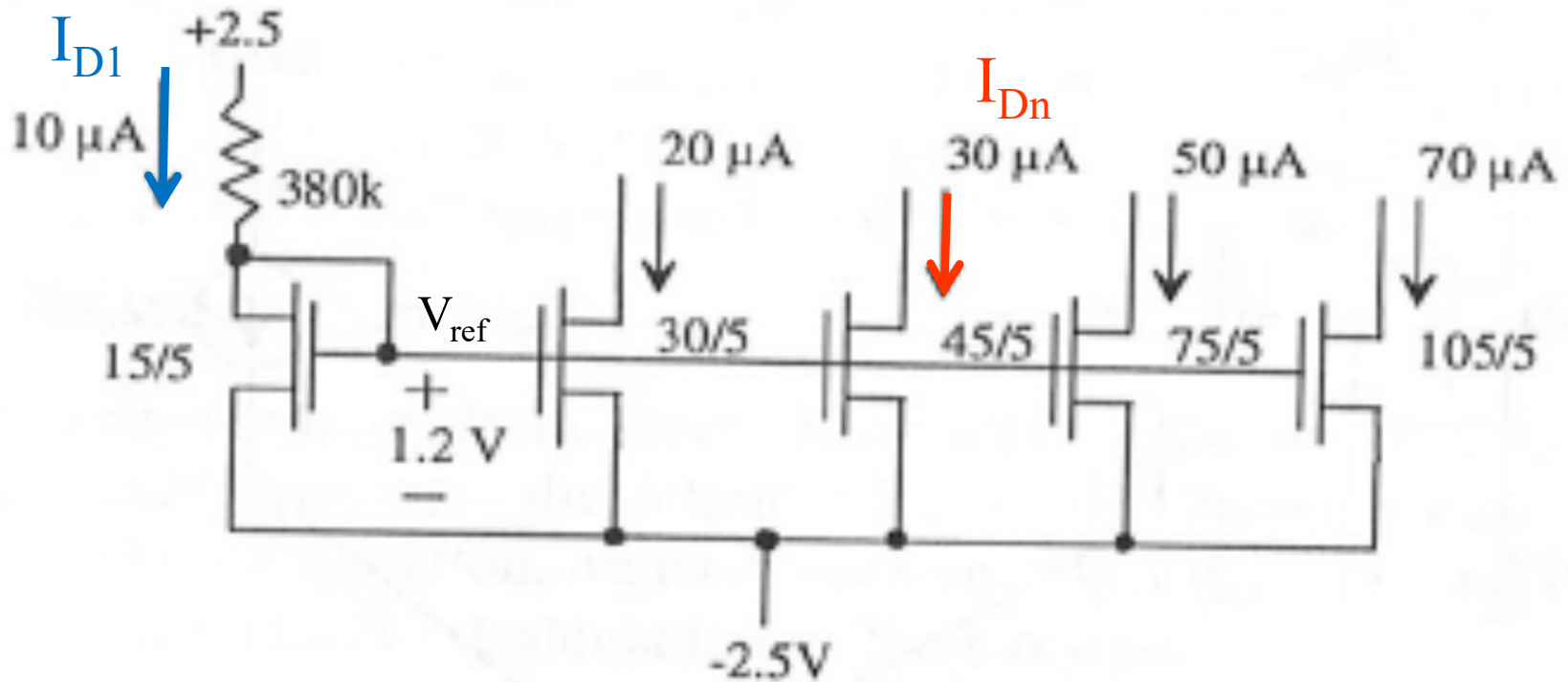


$$I_{Dn} = \frac{W_n}{W_1} \frac{L_1}{L_n} \cdot I_{D1}$$



Diviseur de tension

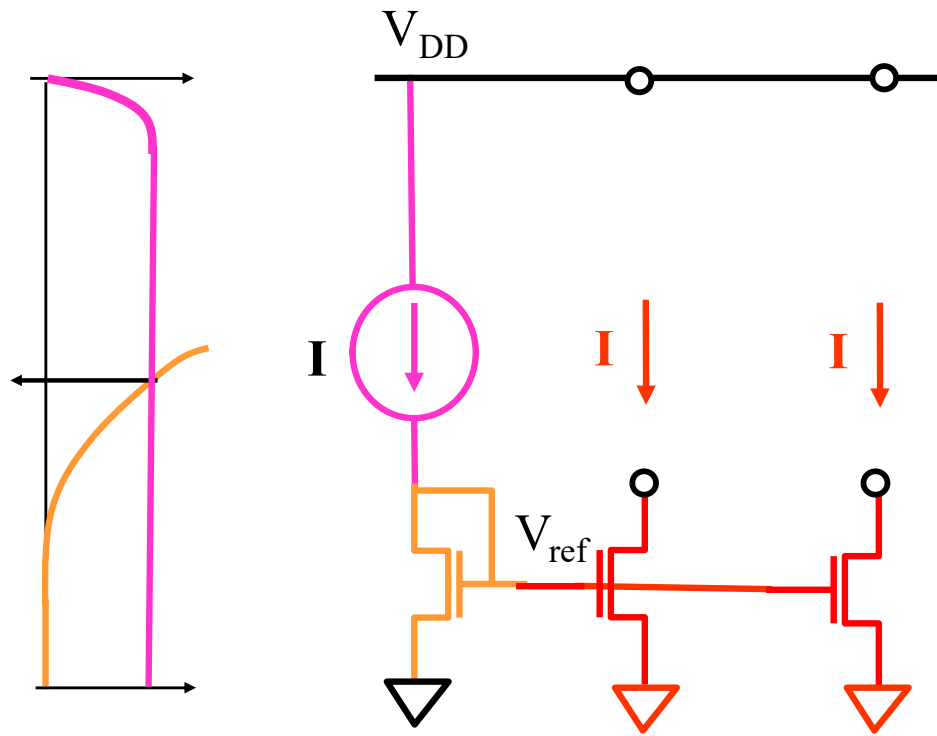
4 sources de courant en parallèle



R.J. Baker, « CMOS, circuit design, layout and simulation », IEEE Press

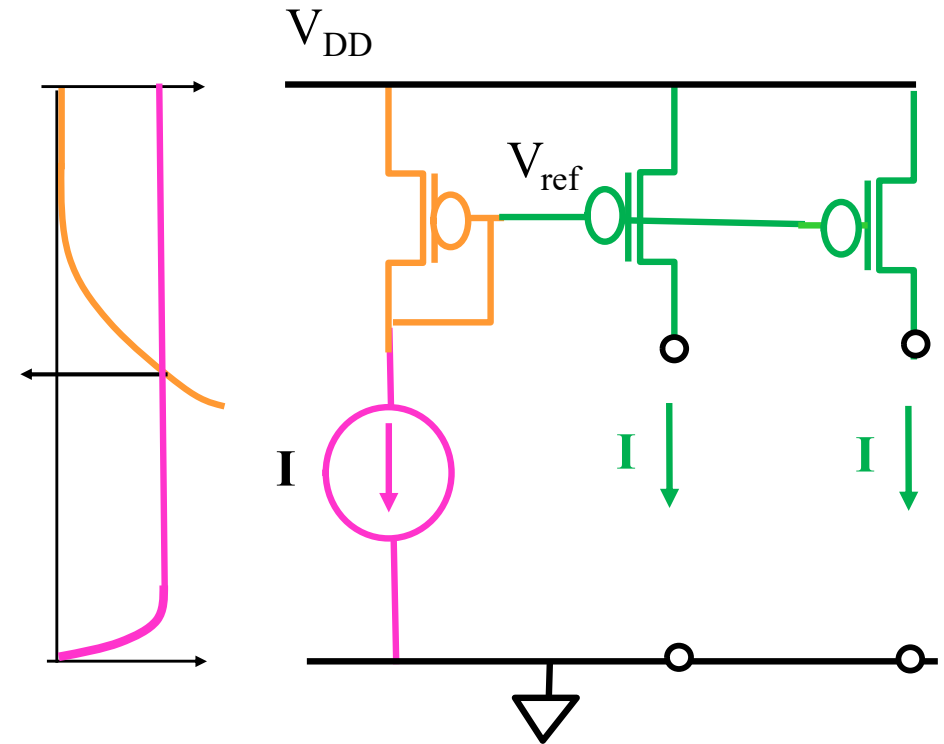
$$I_{Dn} = \frac{W_n}{W_1} \frac{L_1}{L_n} \cdot I_{D1}$$

Basé sur NMOS

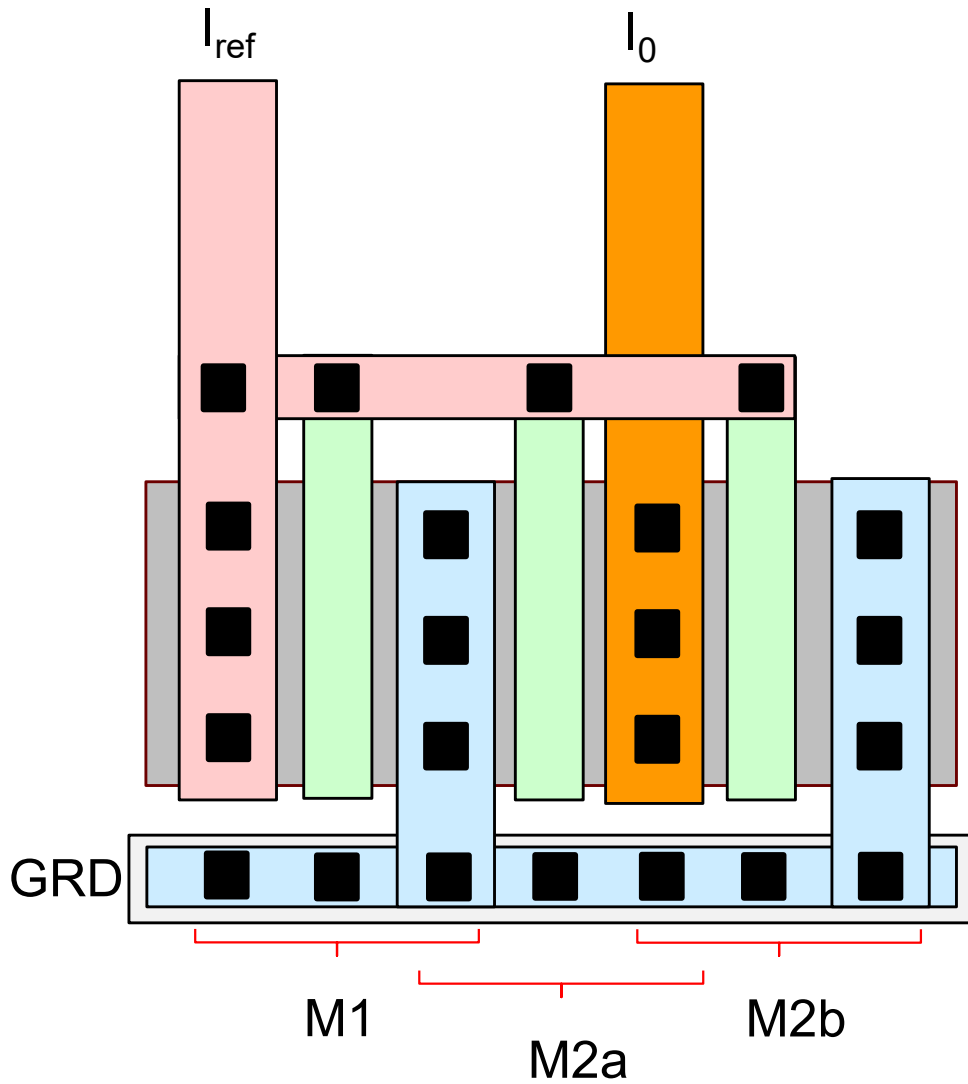


La source de courant peut être un PMOS

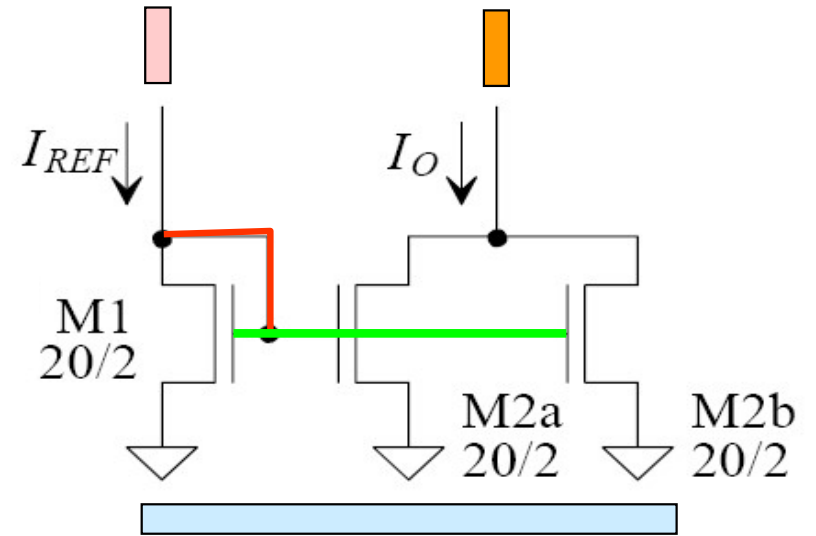
Basé sur PMOS



La source de courant peut être un NMOS



R.J. Baker, « CMOS, circuit design, layout and simulation », IEEE Press

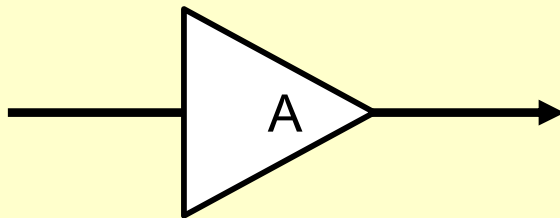


$$I_0 = 2I_{ref}$$

Ampli de tension en boucle ouverte

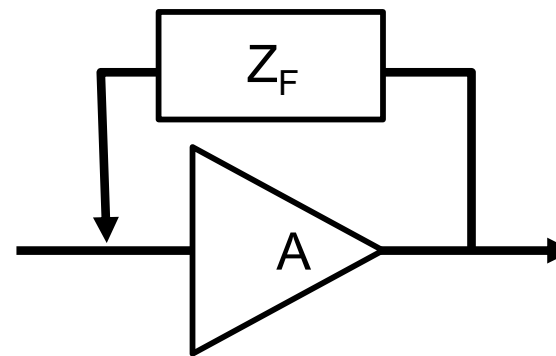
En boucle ouverte

- Résistance de charge ou Résistance active
- Gain modeste
- Point de travail par couplage capacitif



En boucle fermée

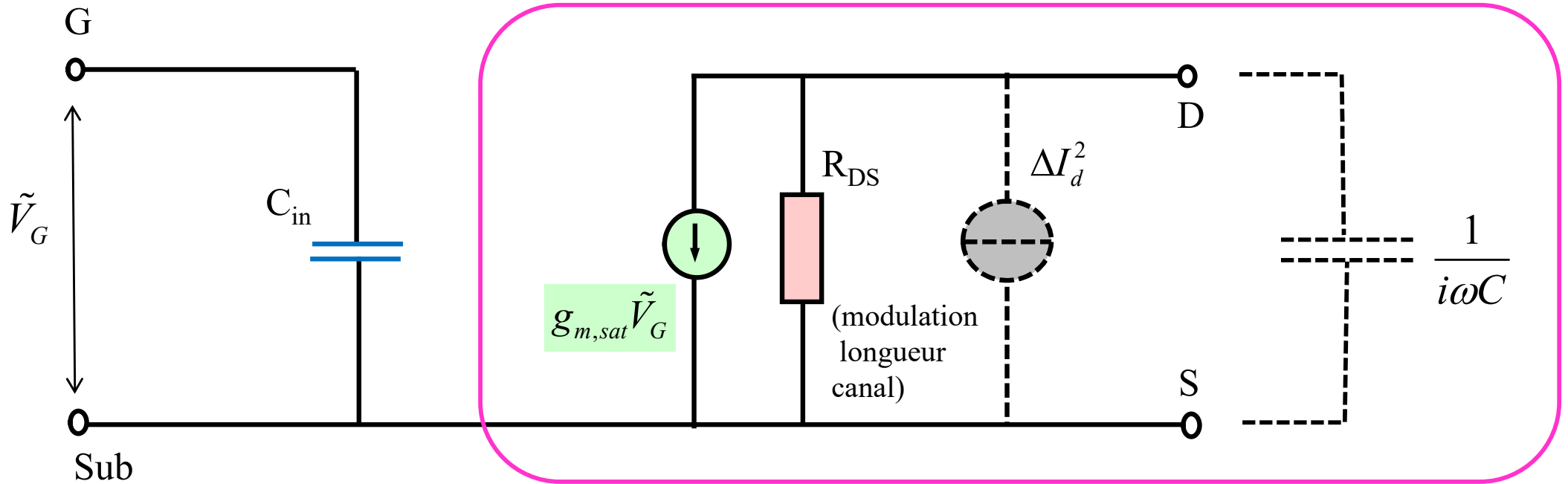
- Source de courant comme charge
- Gain en boucle ouverte très important
Gain final déterminé par le feedback
- Point de travail fixé par une boucle de feedback



Rappel: MOSFET circuit petits signaux simplifié

$$C_{in} \cong (Z \cdot L) \cdot \bar{C}_{ox}$$

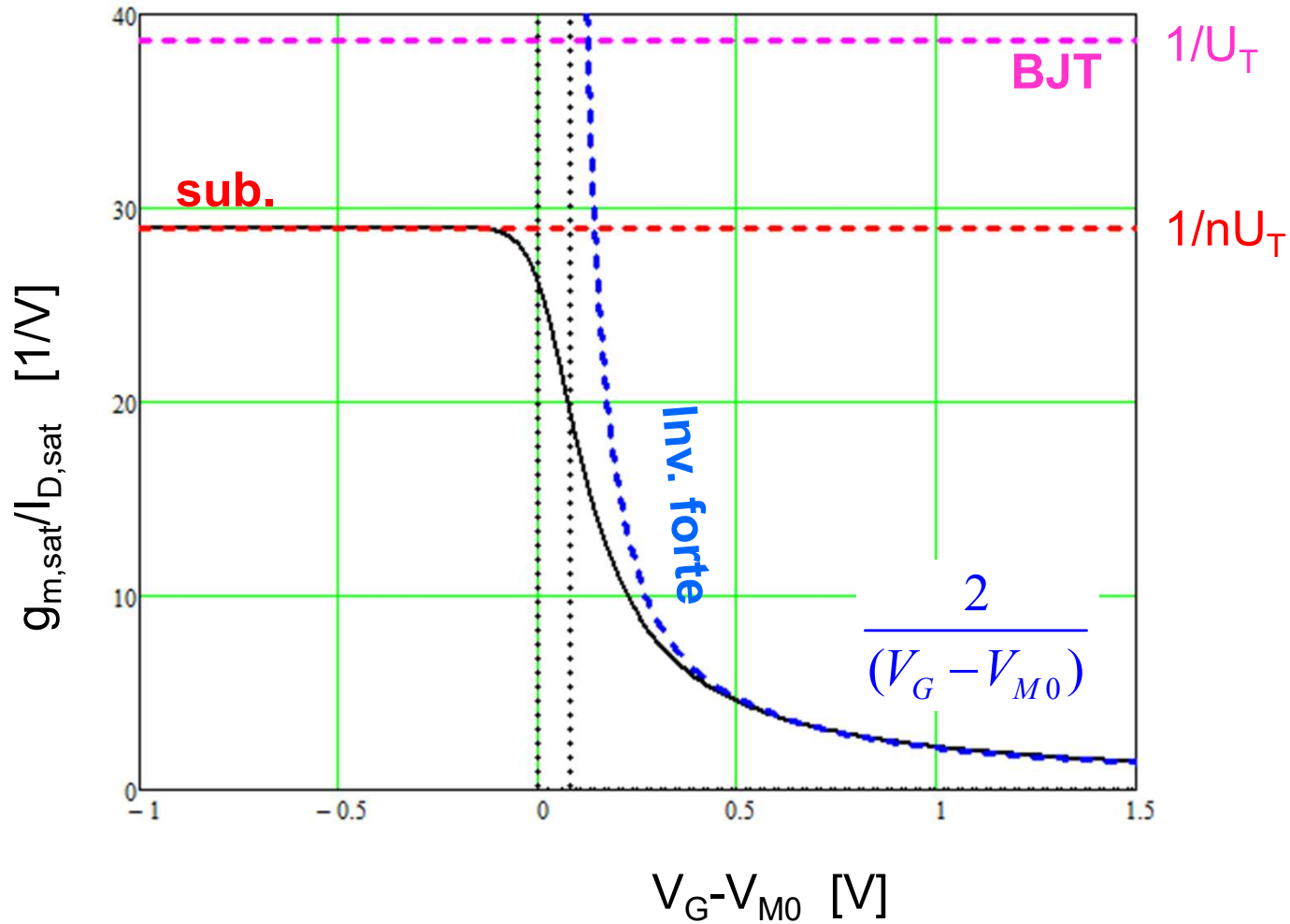
$$R_{DS} \equiv (g_{DS})^{-1} \equiv \left(\frac{\delta I_D}{\delta V_D} \right)^{-1} \cong \frac{|V_A|}{|I_{D,sat}|}$$



Inversion
forte

$$\frac{g_{m,sat}}{|I_{D,sat}|} \cong \frac{2}{V_G - V_T}$$

Comparaison: g_m/I_D



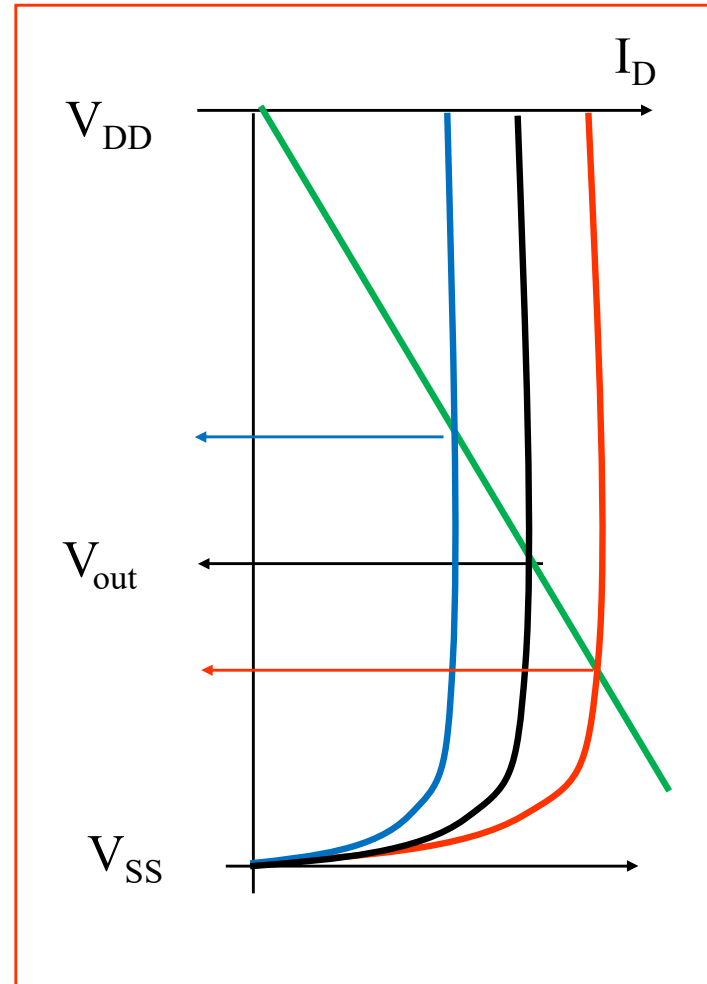
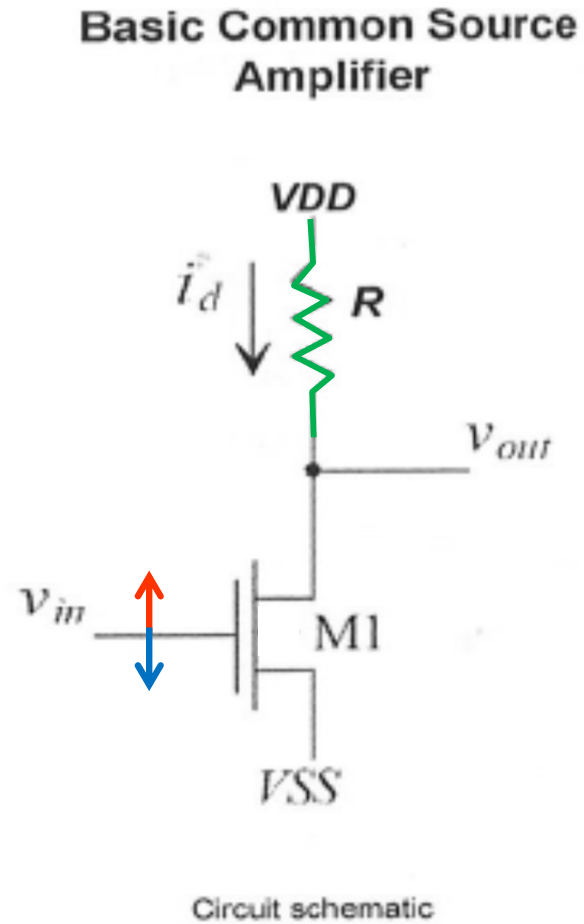
Transconductance
définition

$$g_{m,sat} \equiv \frac{\partial I_{D,sat}}{\partial V_G}$$

$C_{ox} = 3fF/\mu m^2$
 $W/L = 10$
 $T = 300\text{ K}$

$\mu_n = 1000\text{ cm}^2/\text{V}\cdot\text{s}$
 $n = 4/3$

Ampli de tension avec résistance de charge



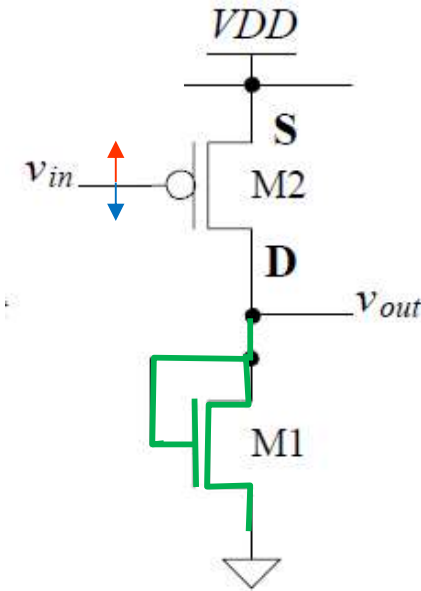
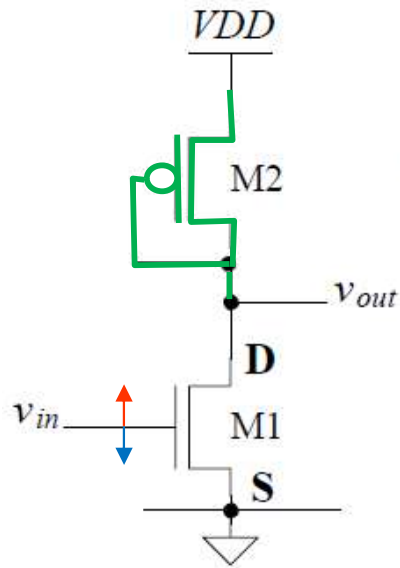
Gain

$$\frac{V_{out}}{V_{in}} = -g_{m1} \cdot R$$

R.J. Baker, « CMOS, circuit design, layout and simulation », IEEE Press

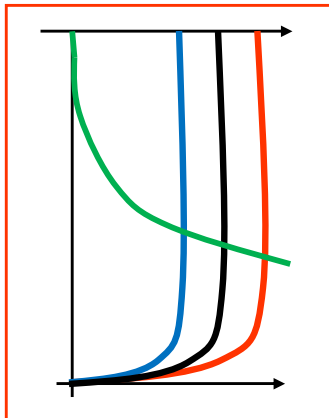
Ampli de tension avec résistance active

R.J. Baker, « CMOS, circuit design, layout and simulation », IEEE Press



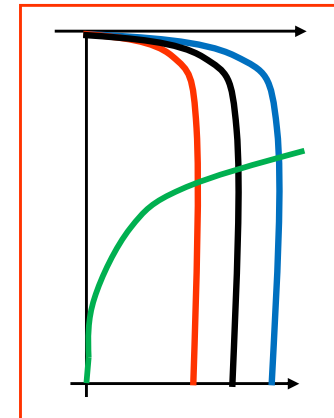
$$V_{out} = -\frac{g_{m1}}{g_{m2}} \cdot V_{in}$$

$$\frac{V_{out}}{V_{in}} = -\frac{g_{m1}/I_D}{g_{m2}/I_D}$$



$$V_{out} = -\frac{g_{m2}}{g_{m1}} \cdot V_{in}$$

$$\frac{V_{out}}{V_{in}} = -\frac{g_{m2}/I_D}{g_{m1}/I_D}$$

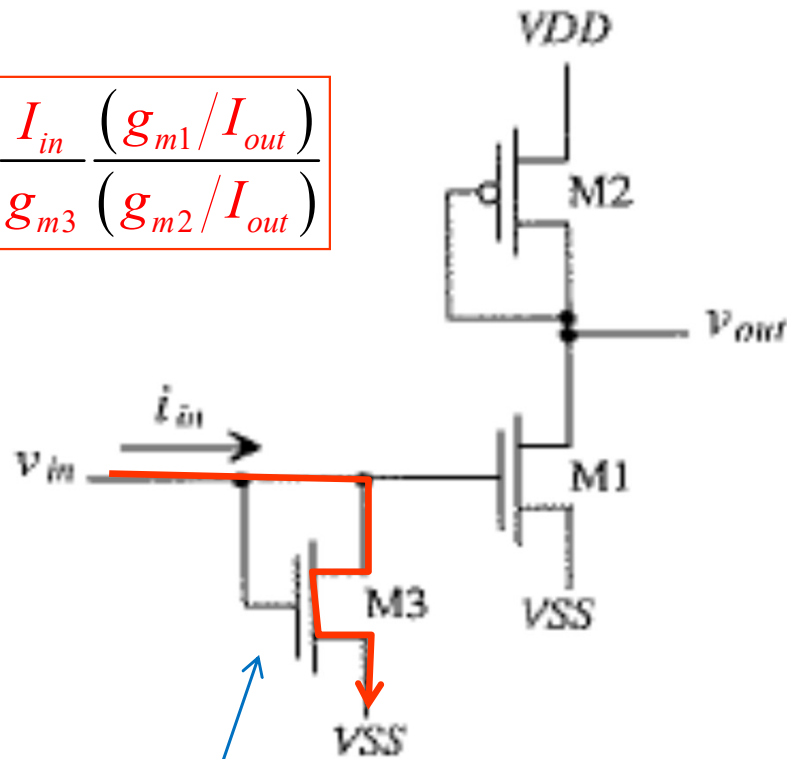




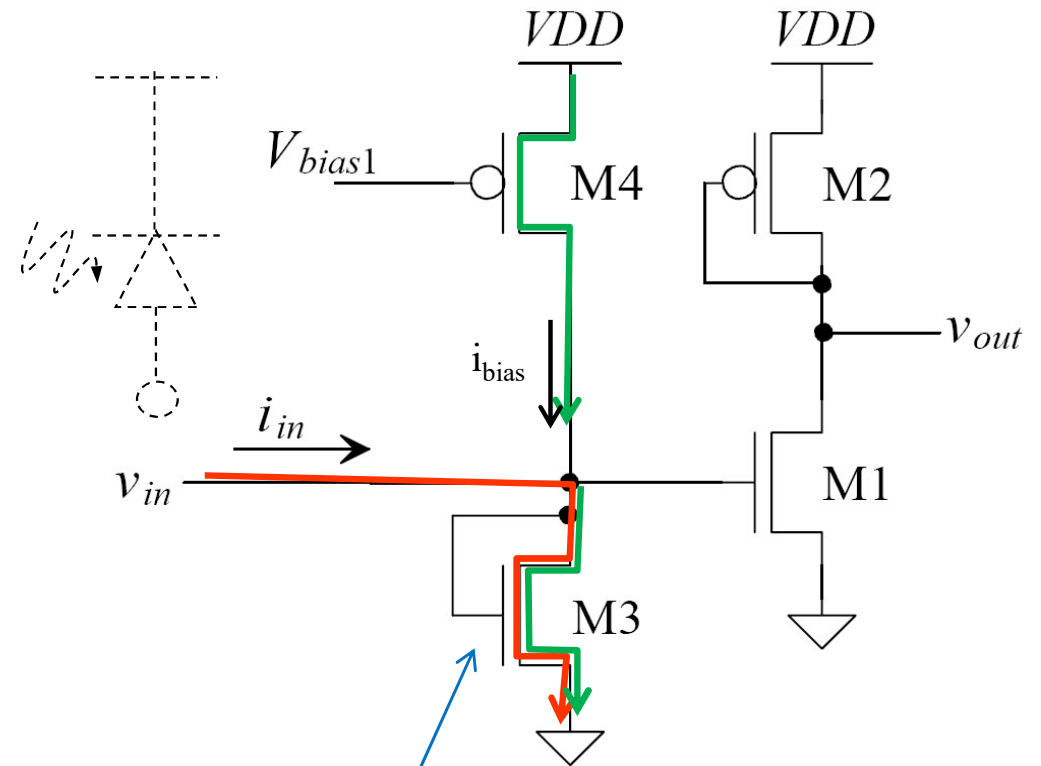
R.J. Baker, « CMOS, circuit design, layout and simulation », IEEE Press

Principe

$$V_{out} = - \frac{I_{in} (g_{m1} / I_{out})}{g_{m3} (g_{m2} / I_{out})}$$



Biasing



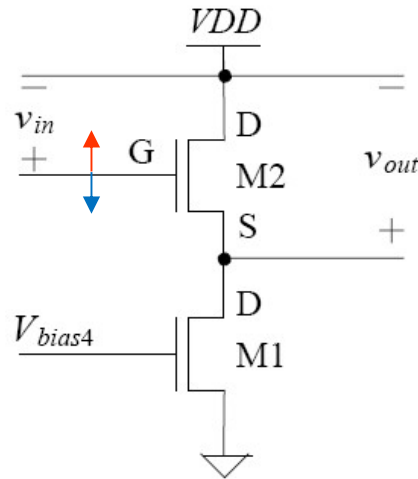
Résistance → convertit le courant en tension

Résistance → convertit le courant en tension

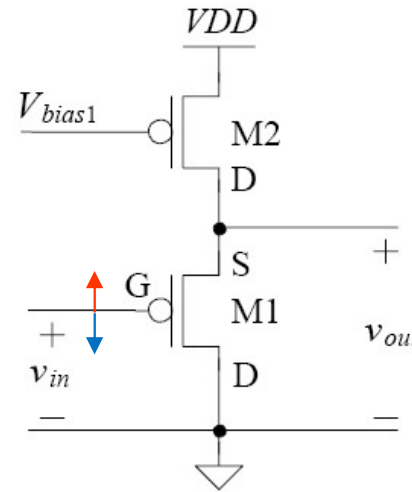


R.J. Baker, « CMOS, circuit design, layout and simulation », IEEE Press

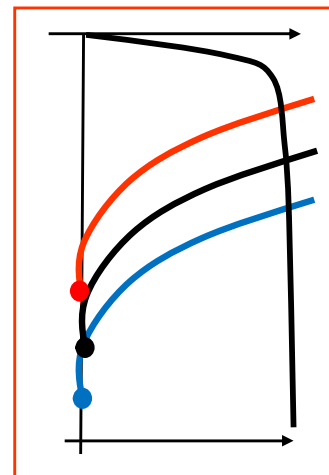
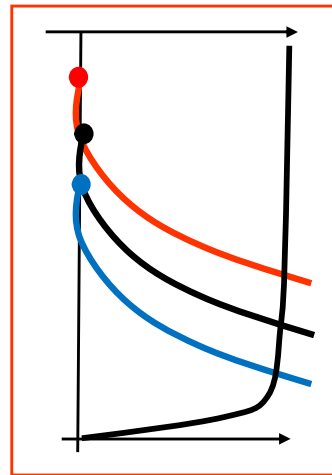
Seulement
NMOS



Seulement
PMOS

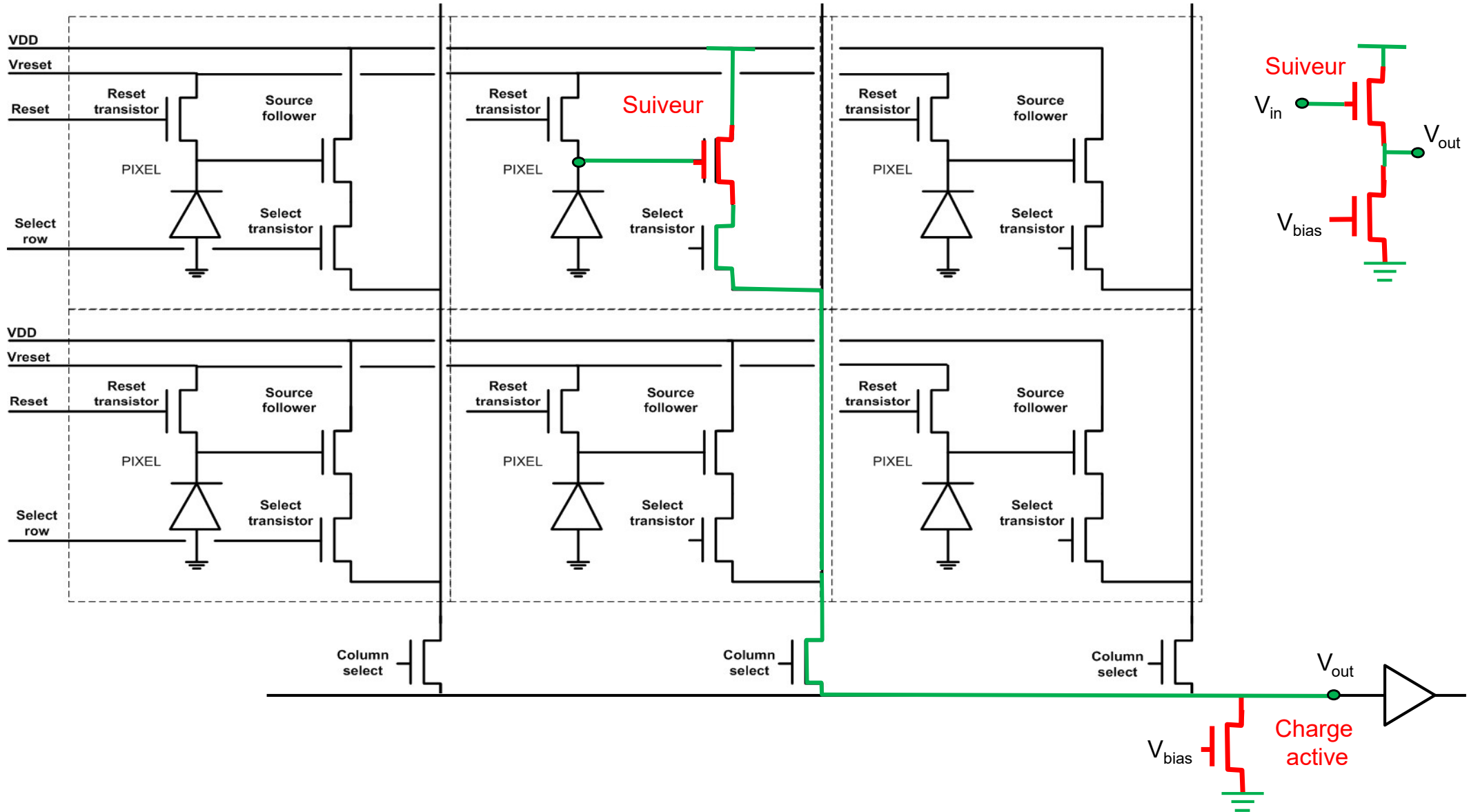


$$\frac{V_{out}}{V_{in}} \approx 1$$



$$\frac{V_{out}}{V_{in}} \approx 1$$

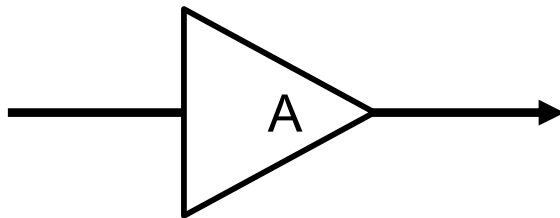
Exemple d'utilisation du suiveur NMOS: Standard 3T APS CMOS camera



Ampli de tension en boucle fermée

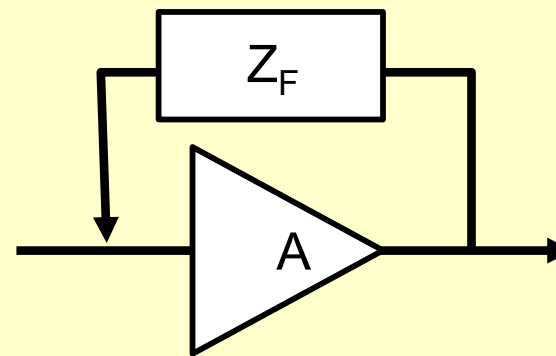
En boucle ouverte

- Résistance de charge ou Résistance active
- Gain modeste
- Point de travail par couplage capacitif

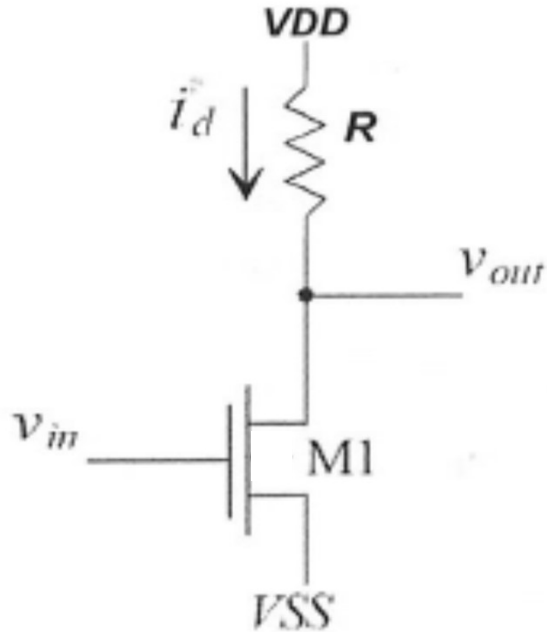


En boucle fermée

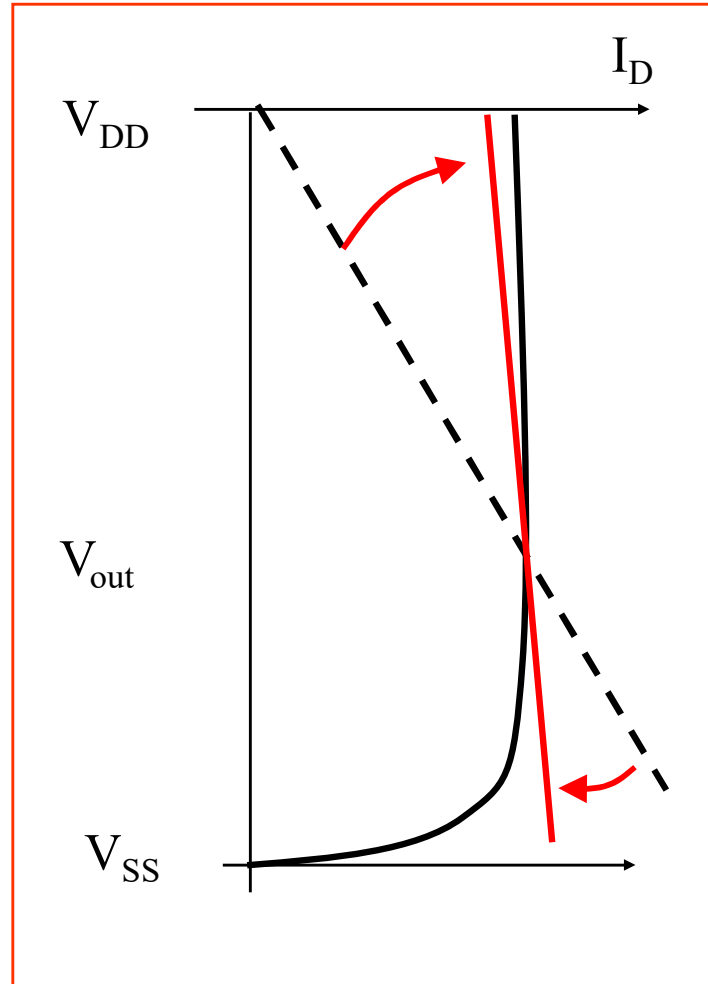
- Source de courant comme charge
- Gain en boucle ouverte très important
Gain final déterminé par le feedback
- Point de travail fixé par une boucle de feedback



Basic Common Source Amplifier



Circuit schematic

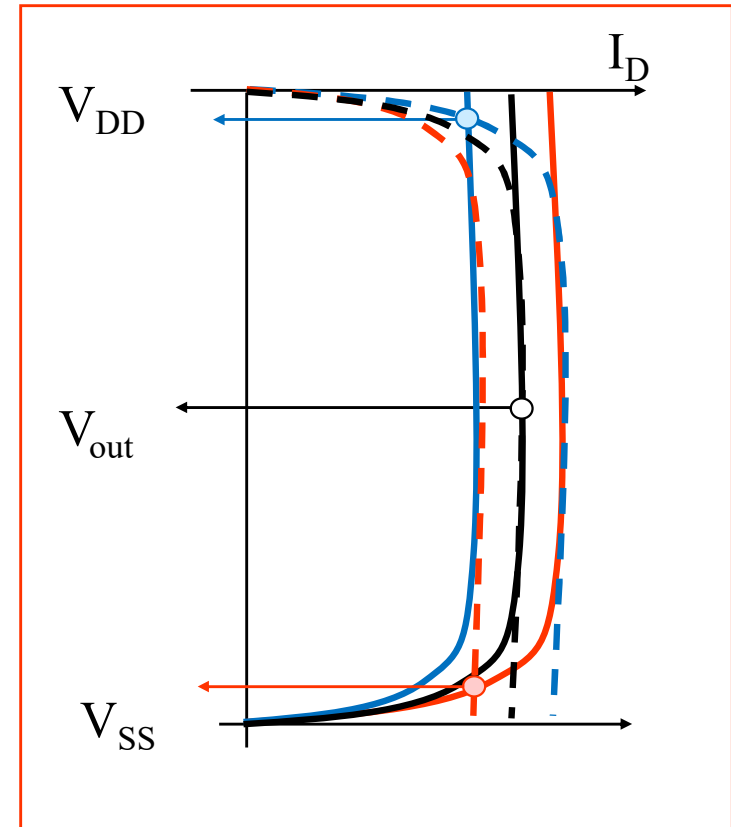
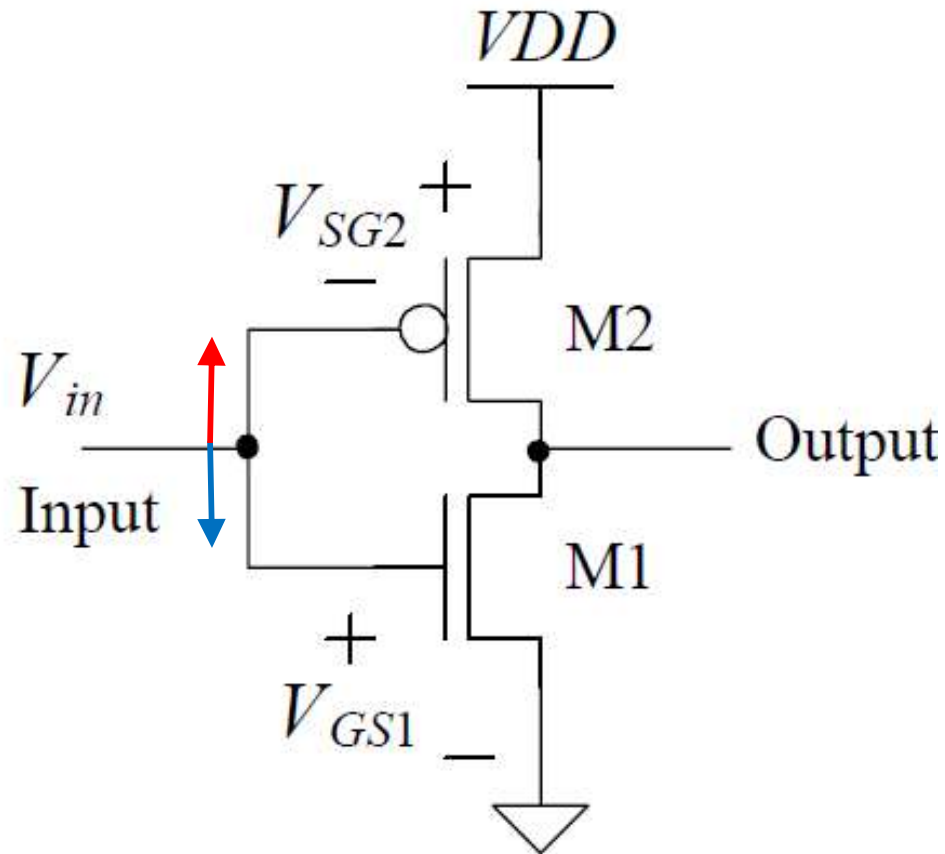


Gain

$$\frac{V_{out}}{V_{in}} = -g_{m1} \cdot R$$

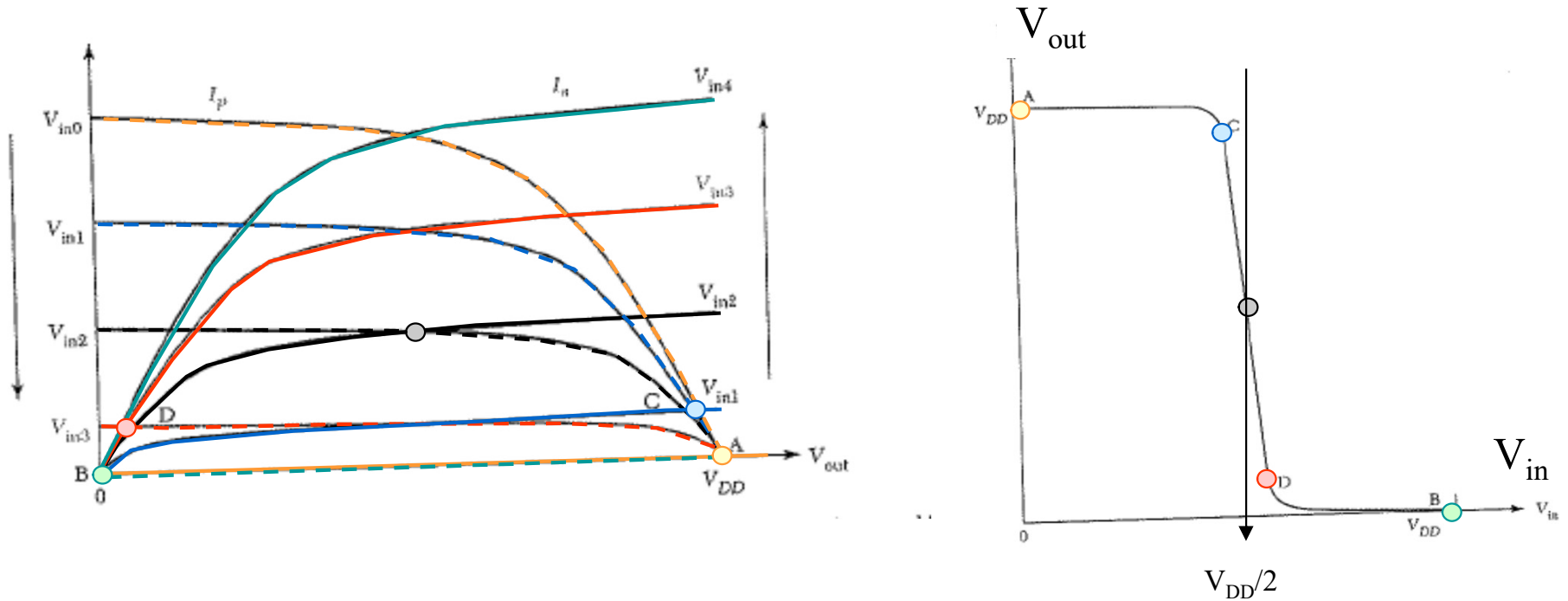
R.J. Baker, « CMOS, circuit design, layout and simulation », IEEE Press

Inverseur CMOS comme ampli de tension (1)



R.J. Baker, « CMOS, circuit design, layout and simulation », IEEE Press

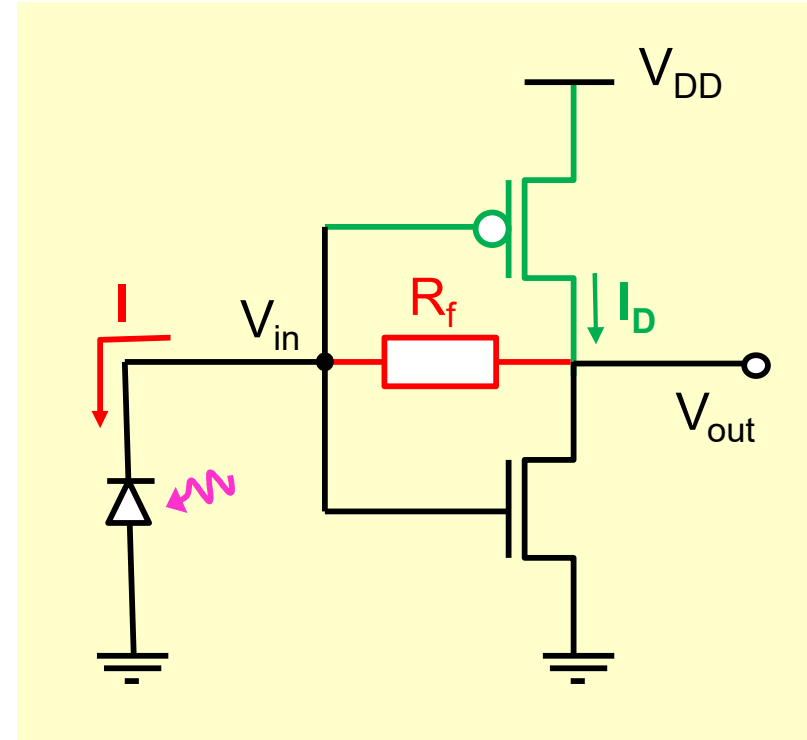
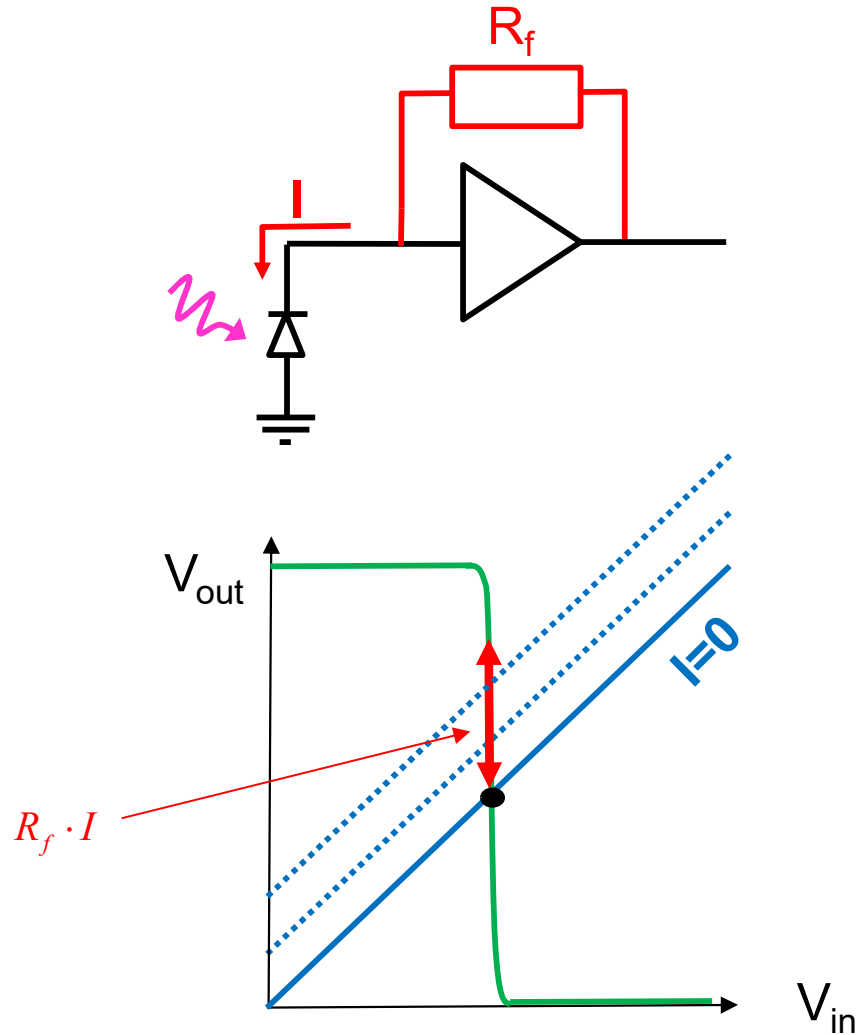
Inverseur CMOS comme ampli de tension (2)



Gain

$$\frac{V_{out}}{V_{in}} = -\frac{(g_{m1} + g_{m2})}{g_{DS,1} + g_{DS,2}} = -\left[\frac{g_{m1}}{I_D} + \frac{g_{m2}}{I_D} \right] \cdot \left(|V_{A1}|^{-1} + |V_{A2}|^{-1} \right)^{-1}$$

S. Sze, « semiconductor devices, physics and technology », Wiley

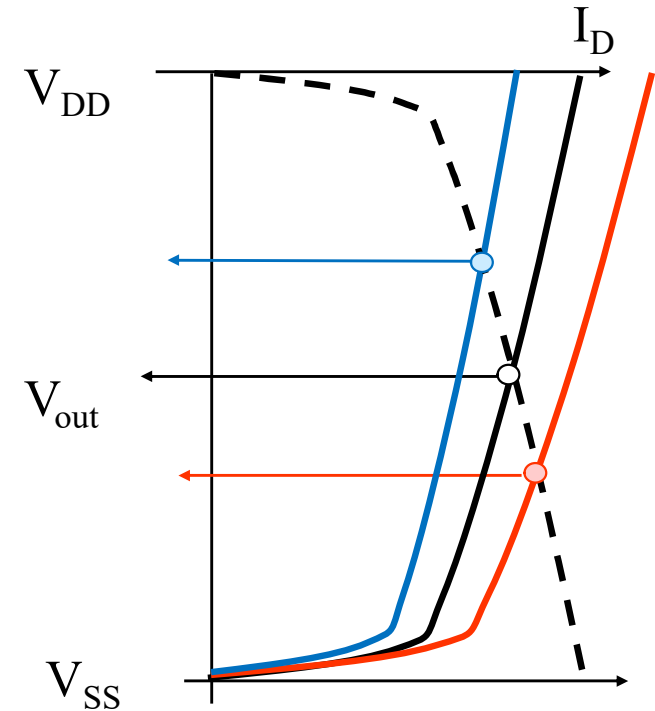
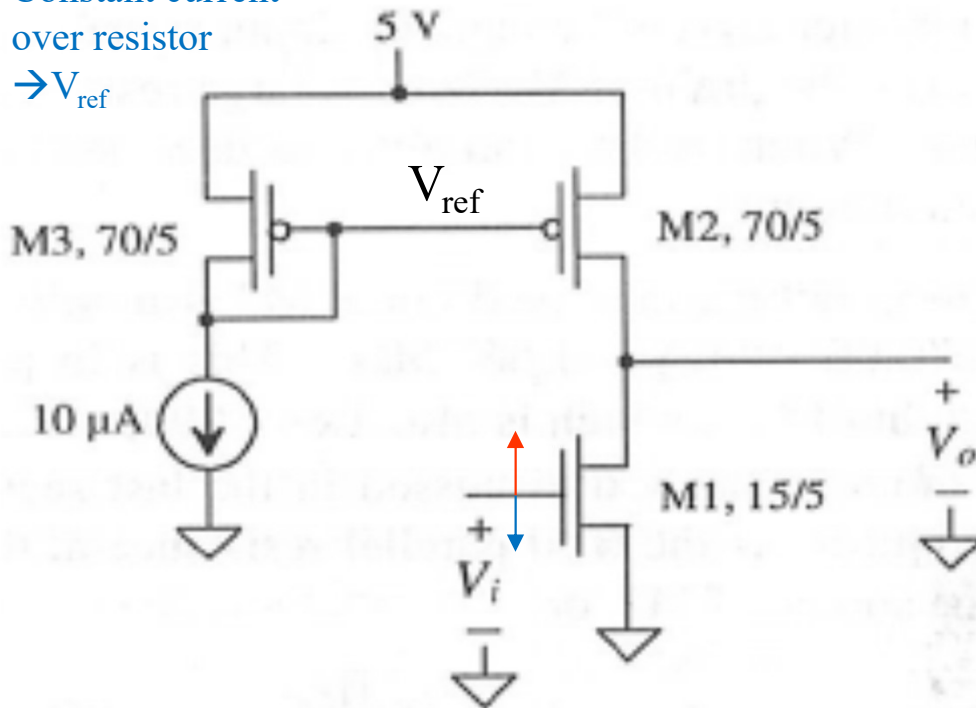


Current source load → huge gain → **feedback loop**

Ampli de tension chargé par une source de courant

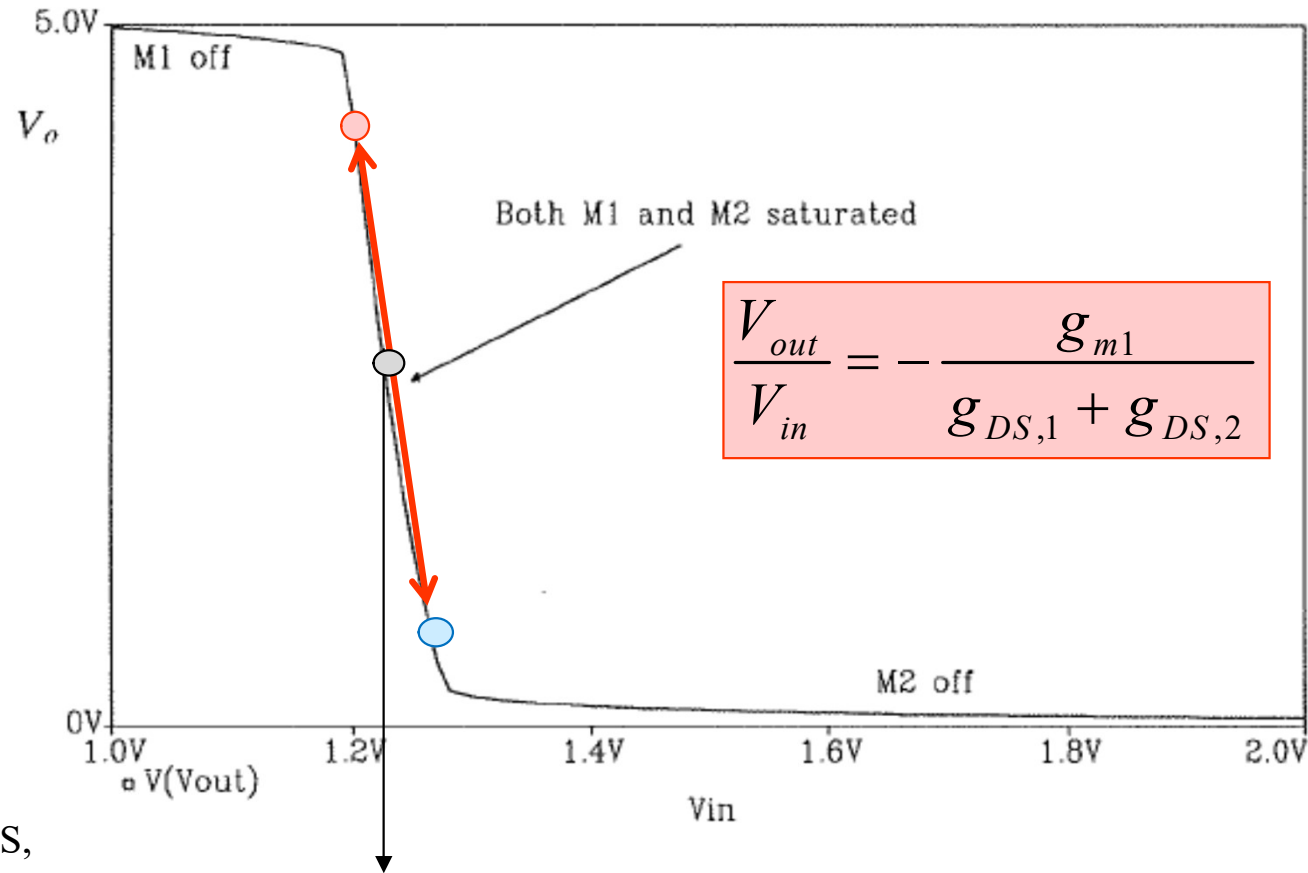
R.J. Baker, « CMOS, circuit design, layout and simulation », IEEE Press

Constant current over resistor
 $\rightarrow V_{ref}$



$$\frac{V_{out}}{V_{in}} = -\frac{g_{m1}}{g_{DS,1} + g_{DS,2}} = -\left[\frac{g_{m1}}{I_D}\right] \cdot \left(|V_{A1}|^{-1} + |V_{A2}|^{-1}\right)^{-1}$$

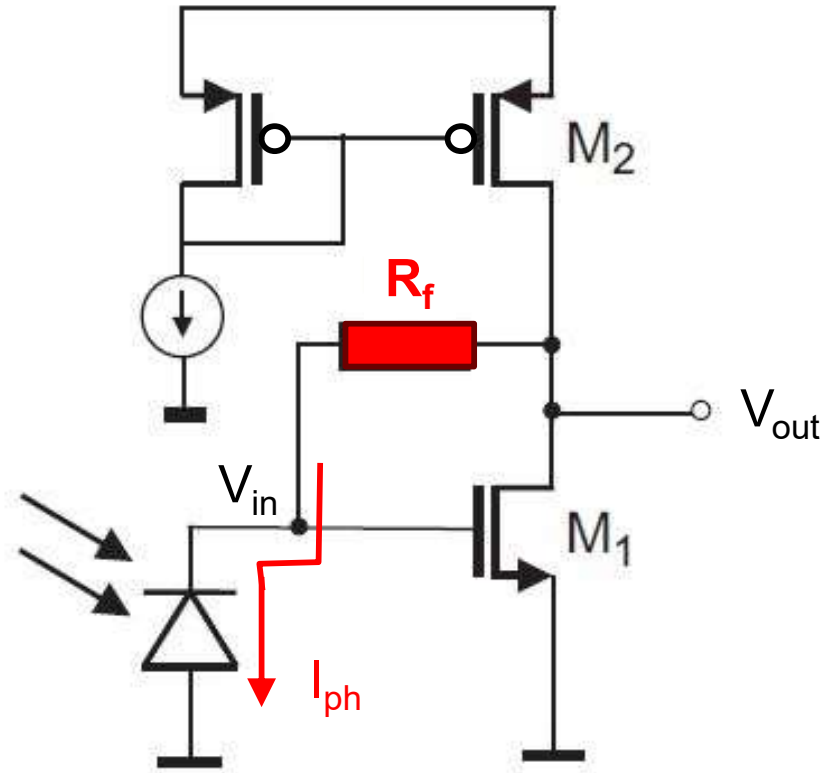
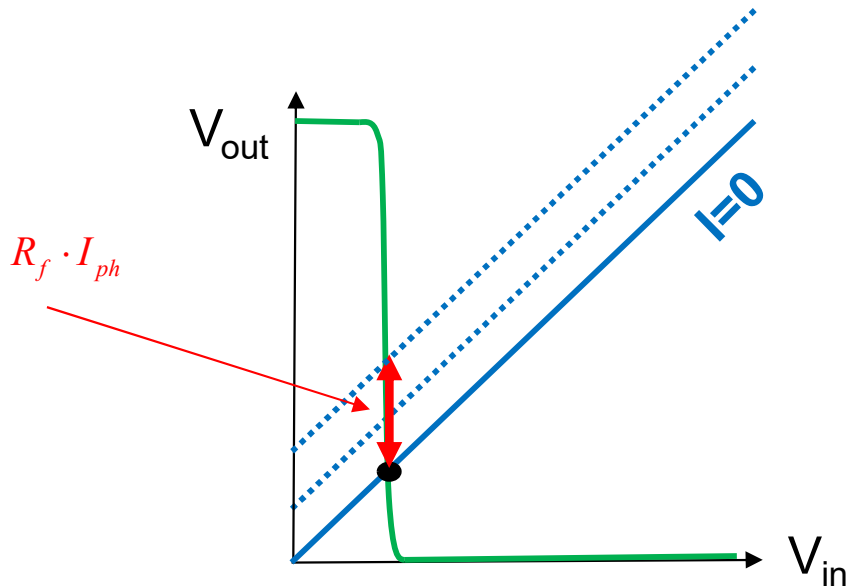
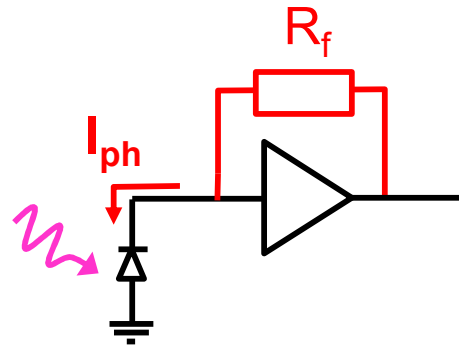
Ampli de tension chargé par une source de courant: caractéristique de transfert



R.J. Baker, « CMOS,
circuit design,
layout and simulation »,
IEEE Press

Le point de travail peut être choisi lors du design.

Feedback loop dans un transimpédance



Sasa Radovanovic, «HIGH-SPEED PHOTODIODES IN STANDARD CMOS TECHNOLOGY», Print Partners Ipskamp, 2004

Current source load → huge gain → **feedback loop**

Ampli de tension

Design de W/L

Ampli de tension

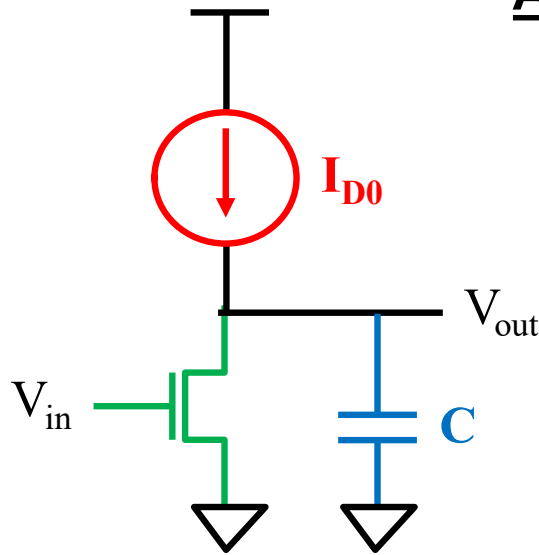
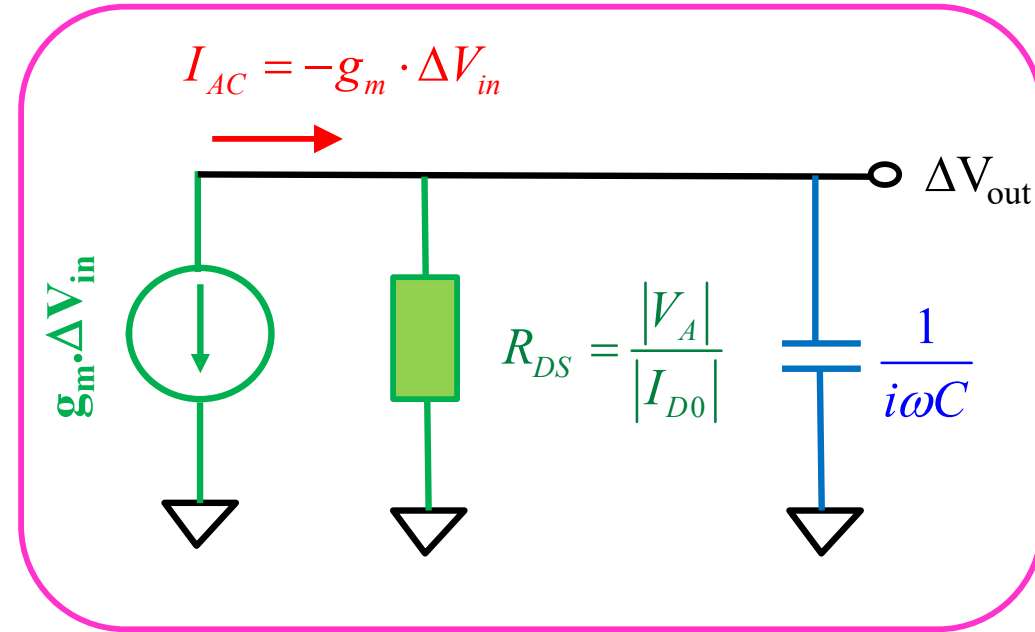
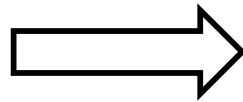


Schéma AC petit signal



Gain

$$A_V = -g_m \cdot R_{DS} = -|V_A| \cdot \frac{g_m}{I_{D0}}$$

⇒ Déterminer $V_G - V_{M0}$

⇒ Déterminer

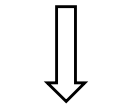
$$\frac{I_{D0}}{(W/L)}$$

Bande passante

$$2\pi\Delta f = \frac{1}{R_{DS}C} = \frac{1}{|V_A| \cdot C} \cdot |I_{D0}|$$

⇒ Déterminer I_{D0}

⇒



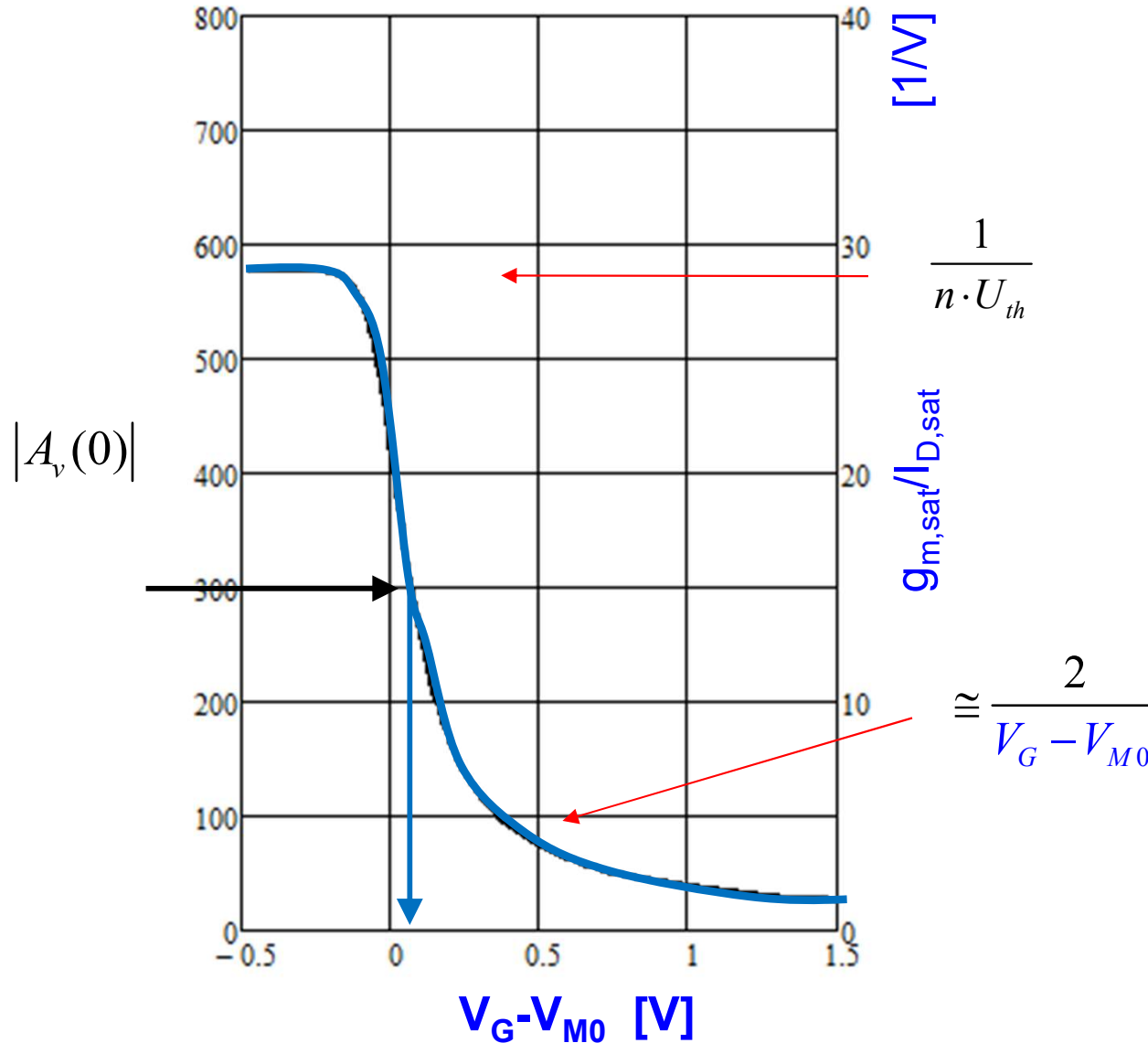
W/L

$$A_V = -g_m \cdot R_{DS} = -|V_A| \cdot \frac{g_m}{I_{D0}}$$



Pour un gain donné on peut déterminer la valeur de g_m/I_{D0}

Gain en tension A_v et $(V_G - V_{M0})$



$$|A_v(0)| = |V_A| \cdot \frac{g_m}{I_D}$$



Pour un gain donné on peut déterminer la valeur de $(V_G - V_{M0})$

$C_{ox} = 3\text{fF}/\mu\text{m}^2$ $u_n = 1000\text{cm}^2/\text{V}\cdot\text{s}$
 $n = 4/3$ $V_A = -20\text{V}$
 $U_T = 26\text{mV}$

Le rapport $I_D/(W/L)$ ne dépend que de $(V_G - V_{M0})$ et de paramètres physiques et technologiques

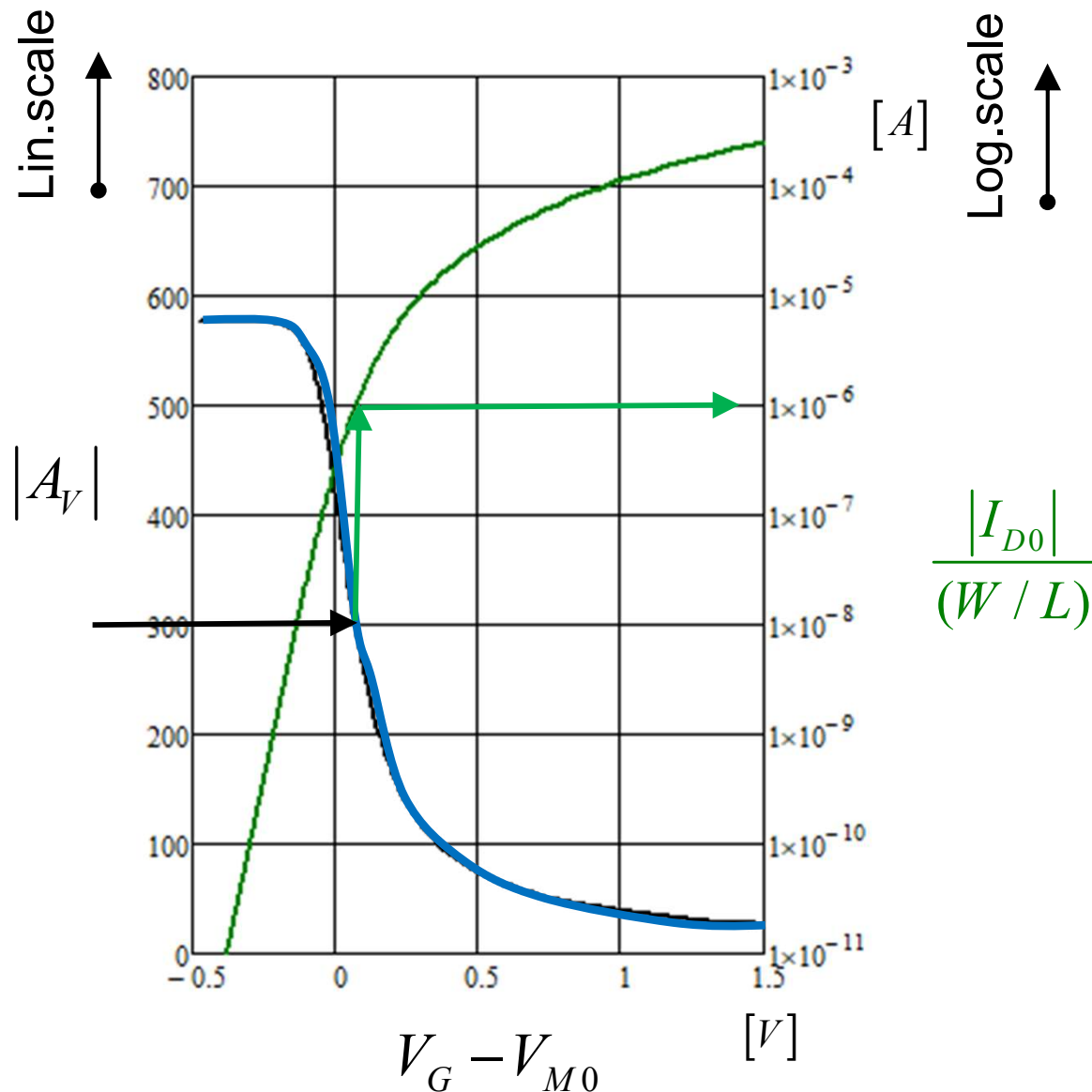
Inversion faible

$$\frac{I_D}{(W/L)} \cong \left(2n\mu_n C_{ox} U_{th}^2 \right) \cdot e^{\frac{V_G - V_{M0}}{nU_{th}}}$$

Inversion forte

$$\frac{I_D}{(W/L)} \cong \left(\frac{\mu_n C_{ox}}{2n} \right) \cdot (V_G - V_{M0})^2$$

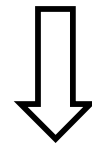

Pour un gain donné on peut déterminer la valeur de $\frac{I_D}{(W/L)}$



$C_{ox}=3fF/um^2$
 $V_A = -20V$
 $C=1pF$

$\mu_n=1000cm^2/V.s$
 $n=4/3$
 $U_T=26mV$

$$2\pi\Delta f = \frac{1}{R_{DS}} \frac{1}{C} = \frac{|I_{D0}|}{|V_A|} \cdot \frac{1}{C}$$

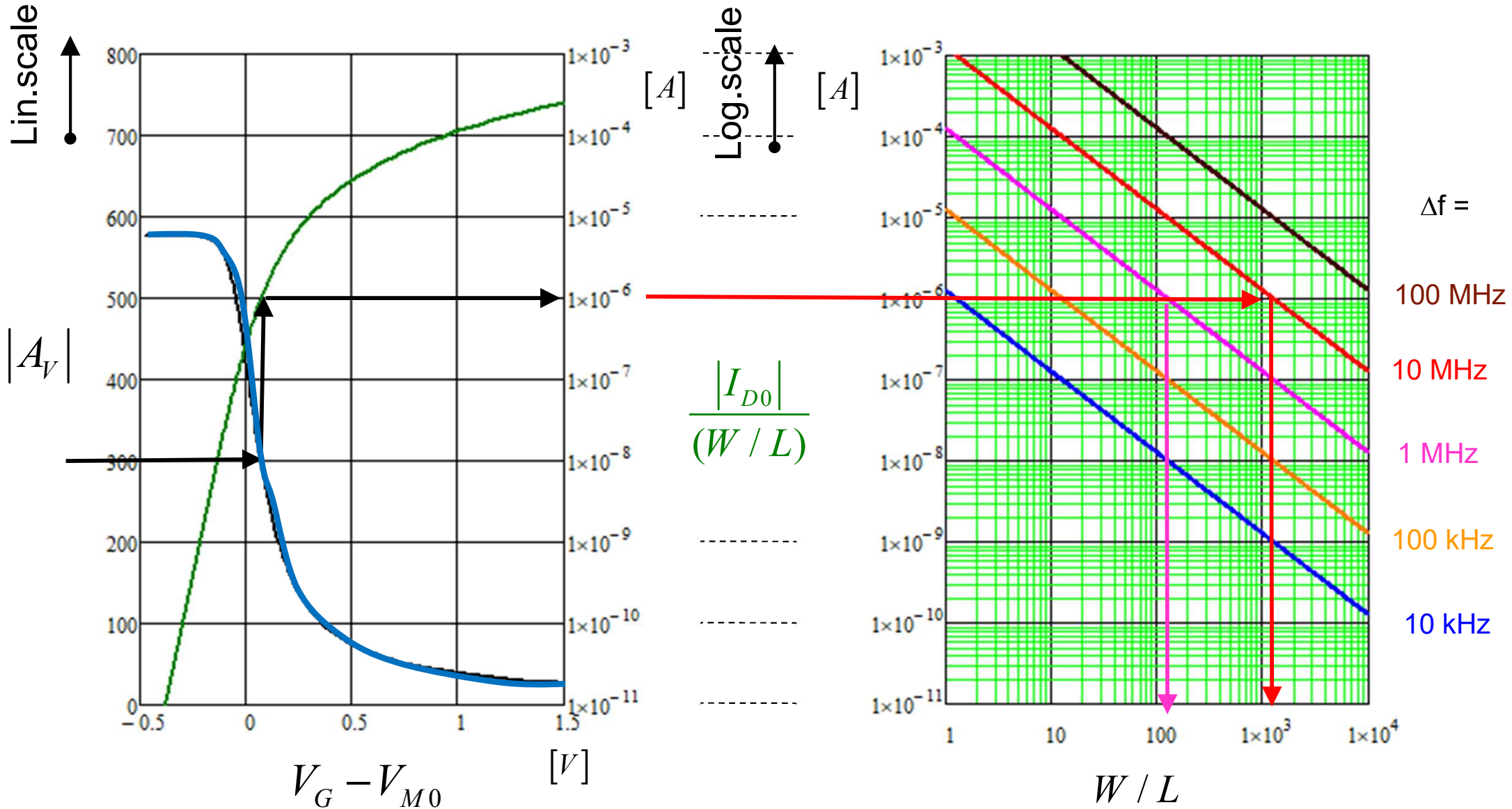


$$\frac{I_D}{(W/L)} = \left[(2\pi |V_A| C) \cdot \Delta f \right] \cdot \frac{1}{(W/L)}$$


La valeur $\frac{I_D}{(W/L)}$ et la bande passante Δf donnent le rapport W/L

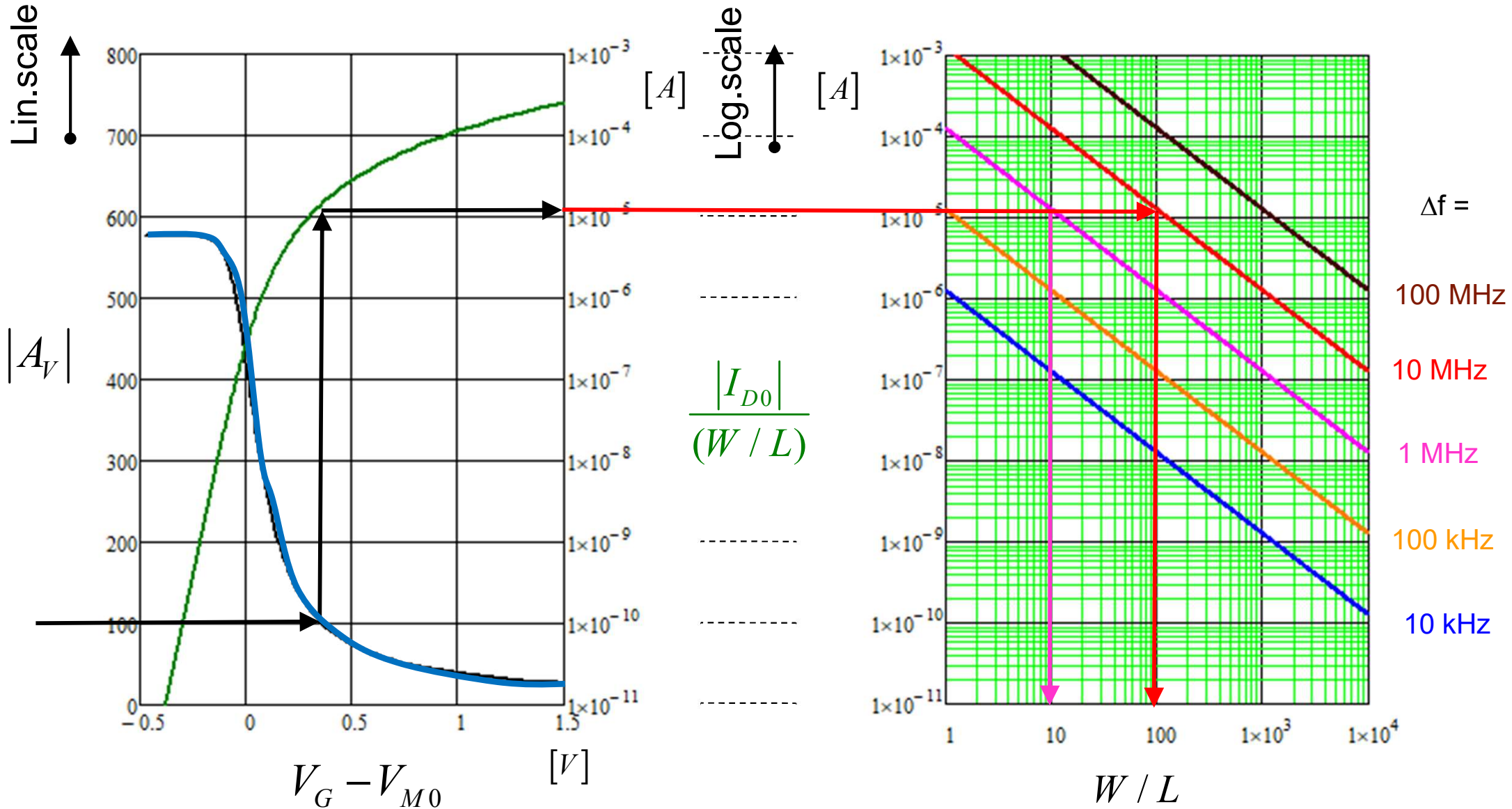
$C_{ox}=3fF/um^2$
 $V_A=-20V$
 $C=1pF$

$u_n=1000cm^2/V.s$
 $n=4/3$
 $U_T=26mV$

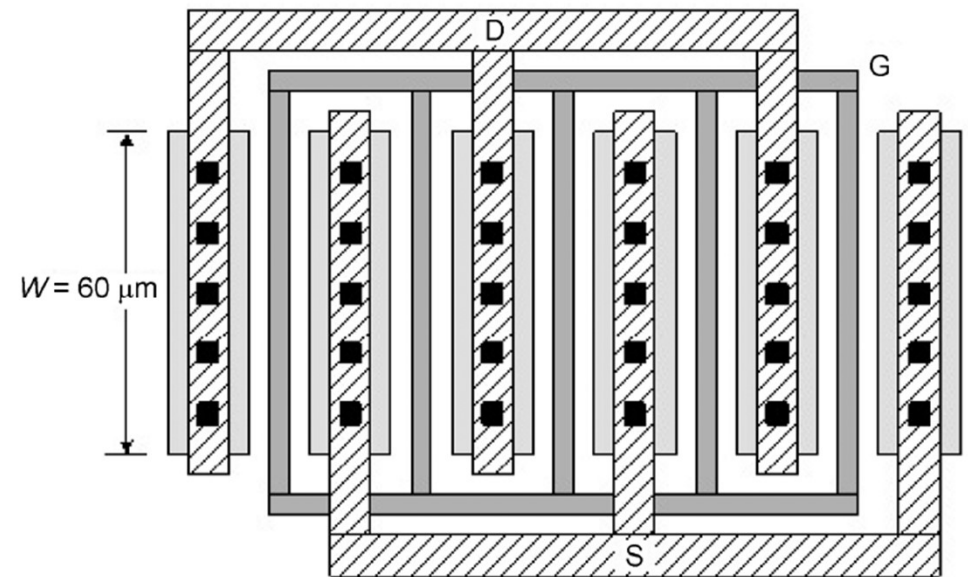
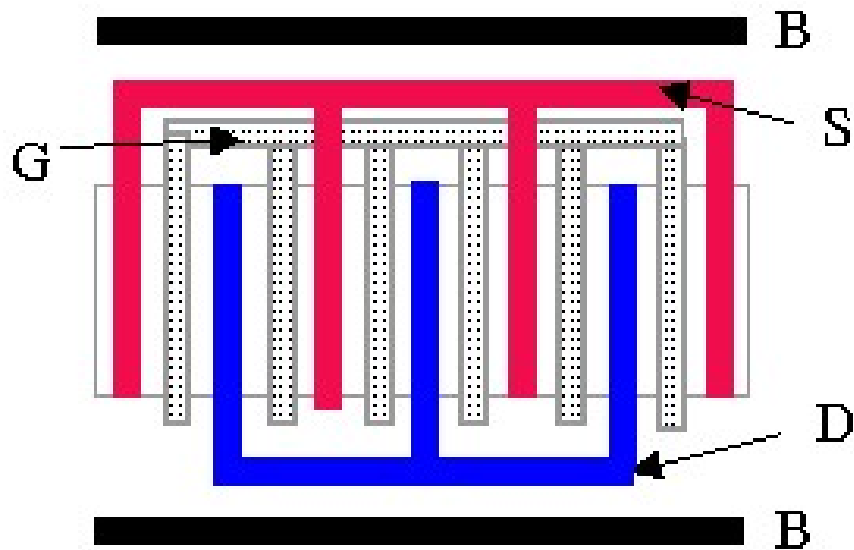


$C_{ox}=3fF/um^2$
 $V_A=-20V$
 $C=1pF$

$u_n=1000cm^2/V.s$
 $n=4/3$
 $U_T=26mV$



Exemples: Multi-finger MOSFET

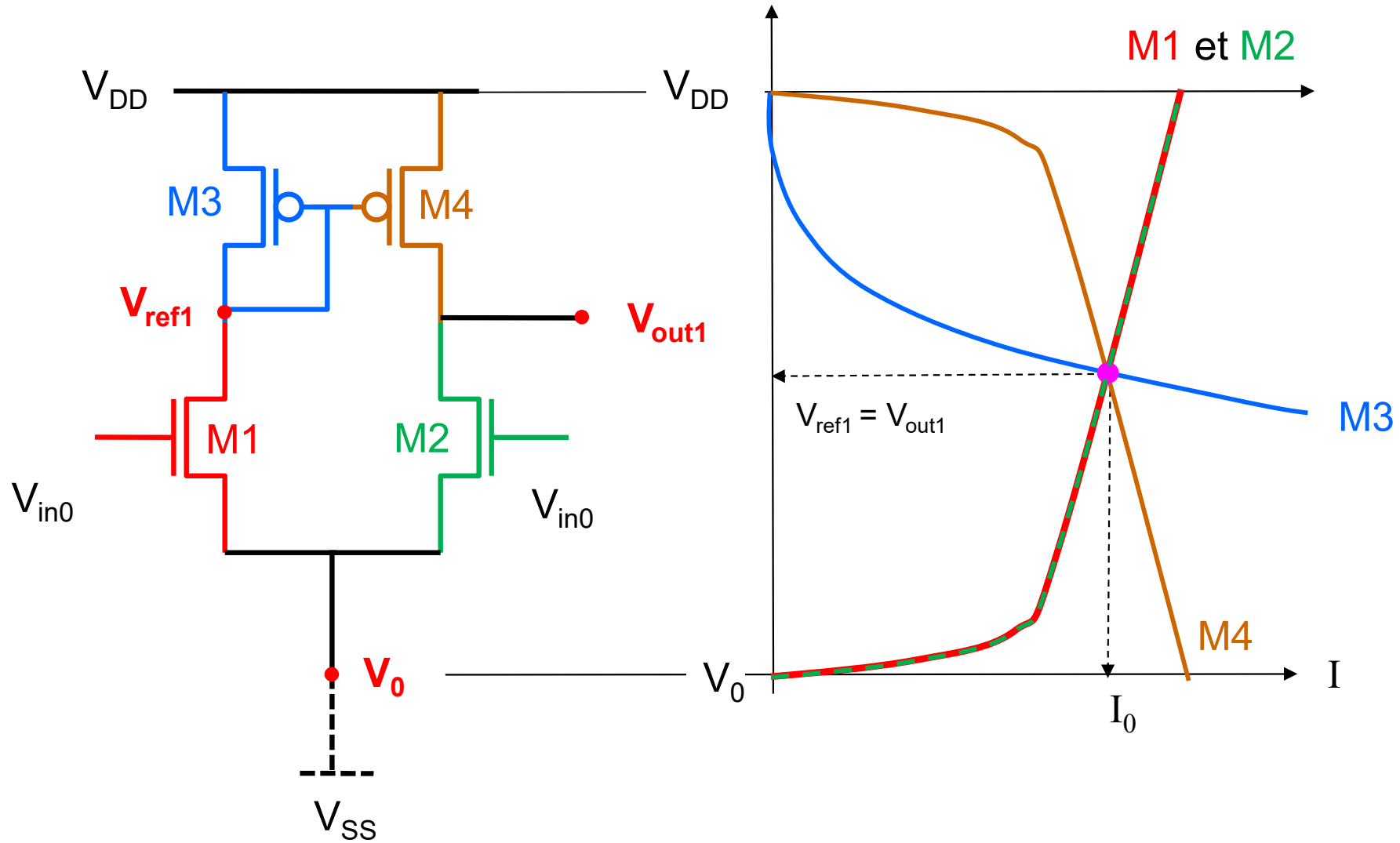


https://www.cs.york.ac.uk/rts/docs/SIGDA-Compendium-1994-2004/papers/2004/aspdac04/pdffiles/02c_1.pdf

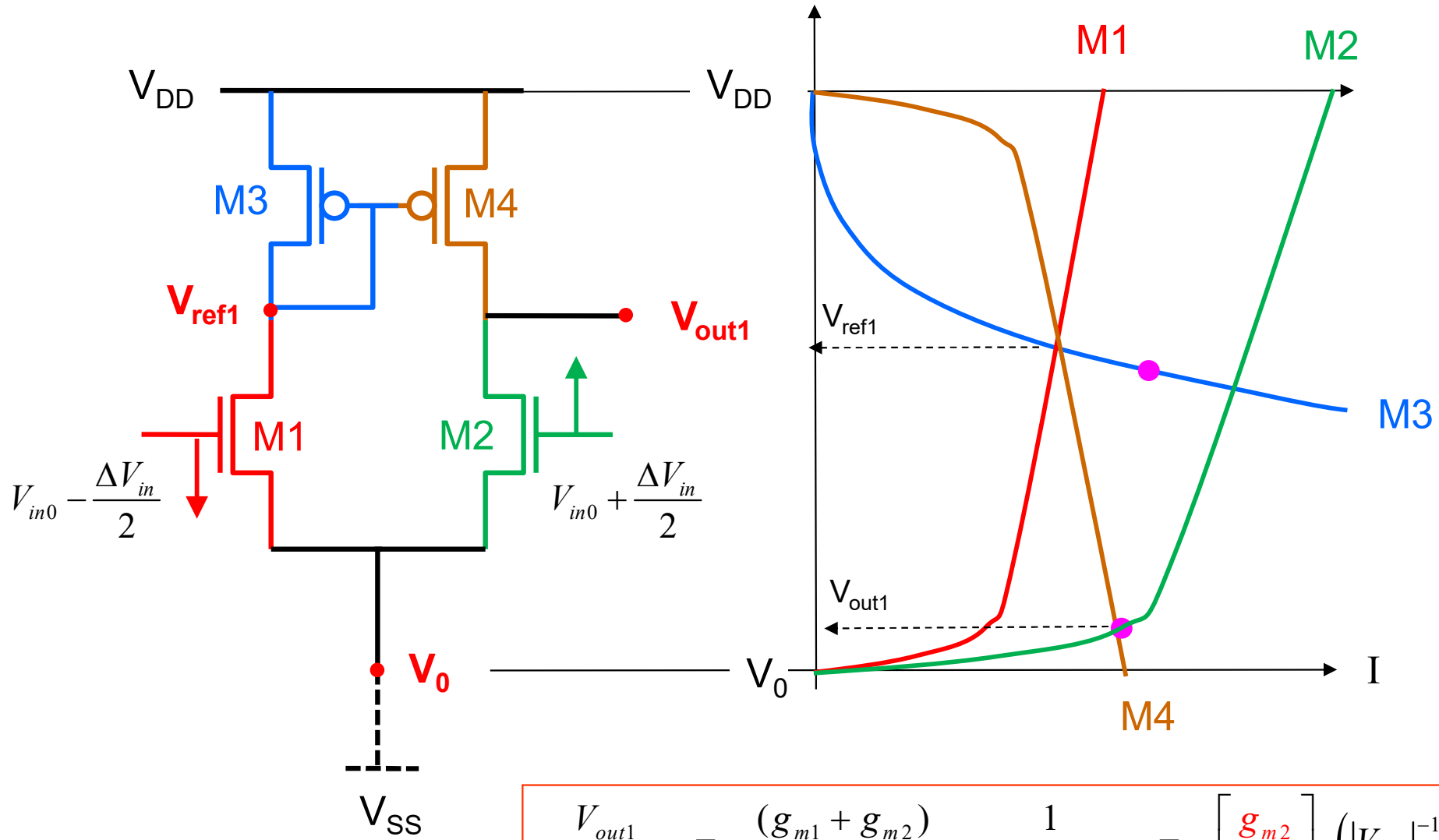
M. Dhamodaran et al., "On-Chip Spiral Inductors and On-Chip Spiral Transistors for Accurate Numerical Modeling", *Journal of Magnetism*, Vol. 23, No. 1, March 2018

Ampli différentiel Et Opam

Differential amplifier: point de travail

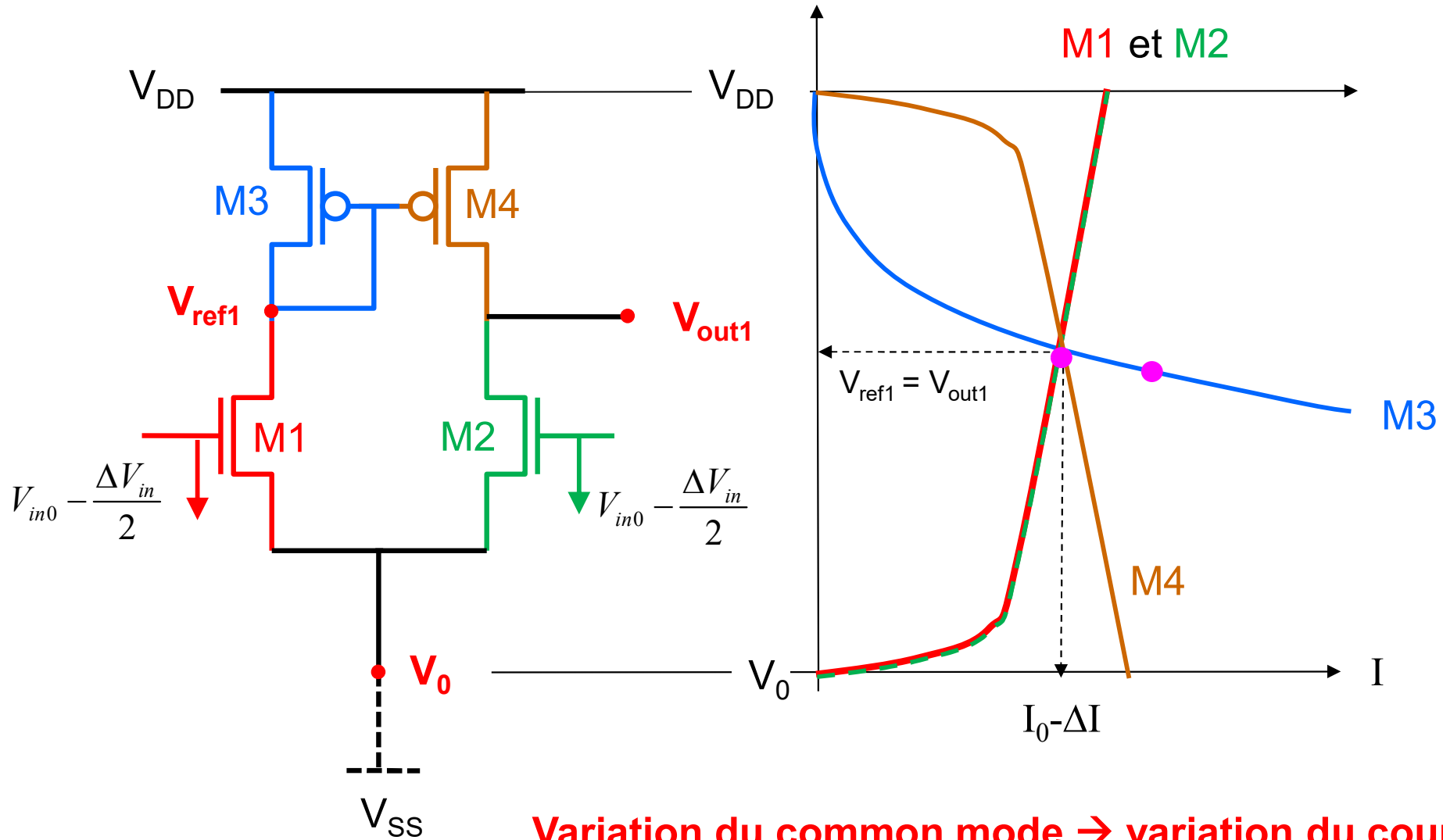


Differential amplifier: analyse du mode différentiel



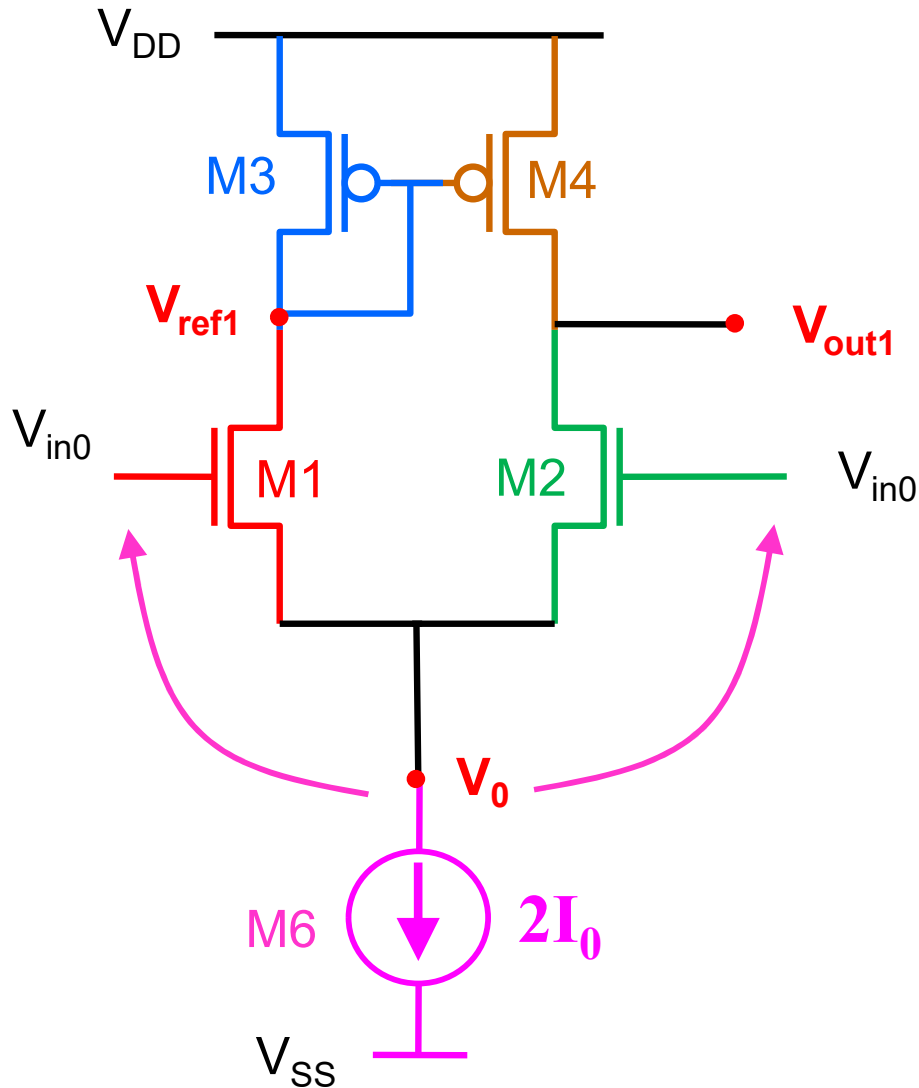
$$\frac{V_{out1}}{V_{in,2} - V_{in,1}} = -\frac{(g_{m1} + g_{m2})}{2} \cdot \frac{1}{g_{DS,4} + g_{DS,2}} = -\left[\frac{g_{m2}}{I_{D2}} \right] \cdot \left(|V_{A4}|^{-1} + |V_{A2}|^{-1} \right)^{-1}$$

Differential amplifier: analyse du mode commun



**Variation du common mode \rightarrow variation du courant
 \rightarrow Variation du gain du mode différentiel**

Differential amplifier: introduction d'une source de courant



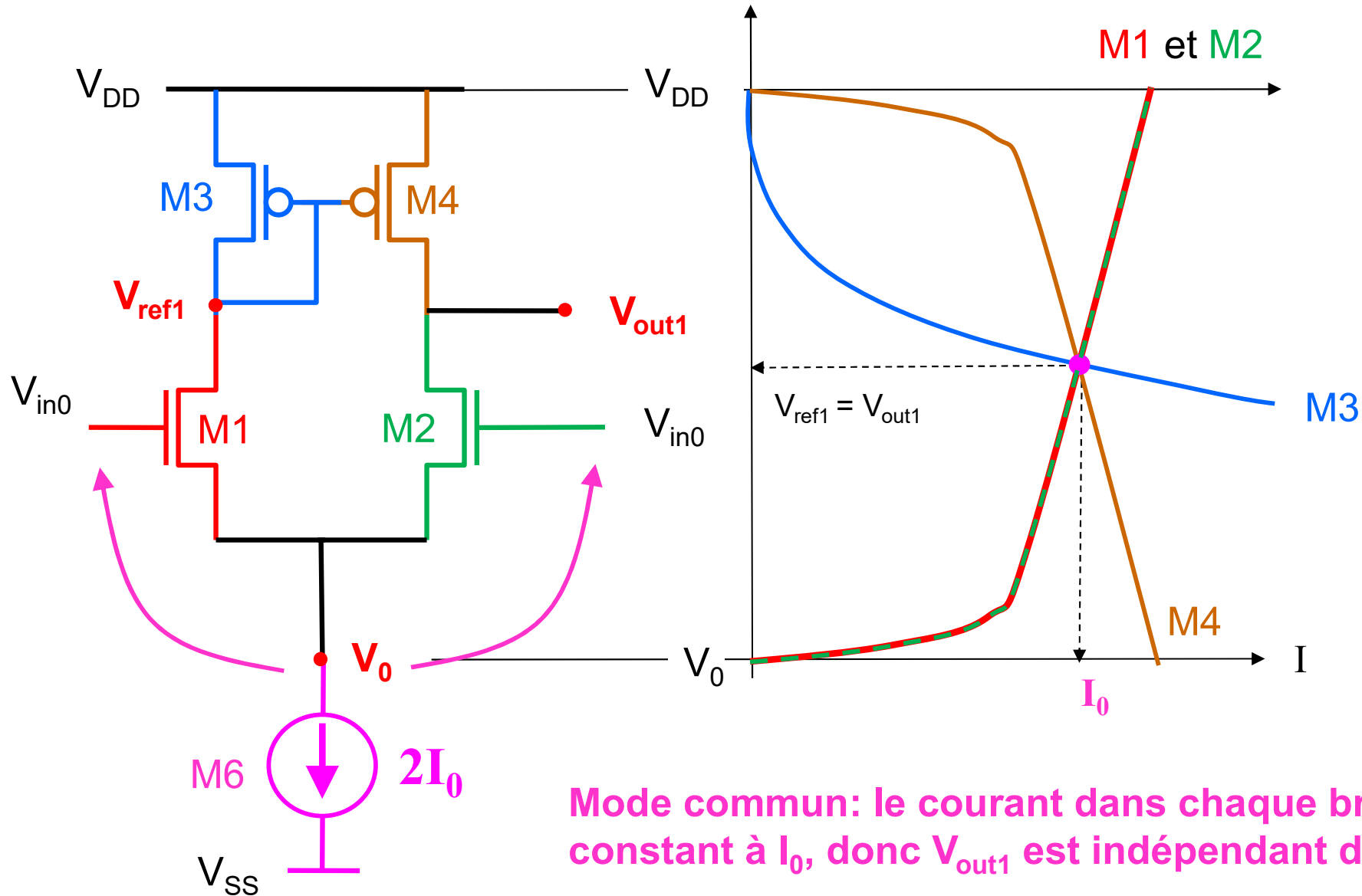
Ajouter une source de courant

→ Maintenir la tension $V_{in0} - V_0$ constante

→ Le gain différentiel est fixe

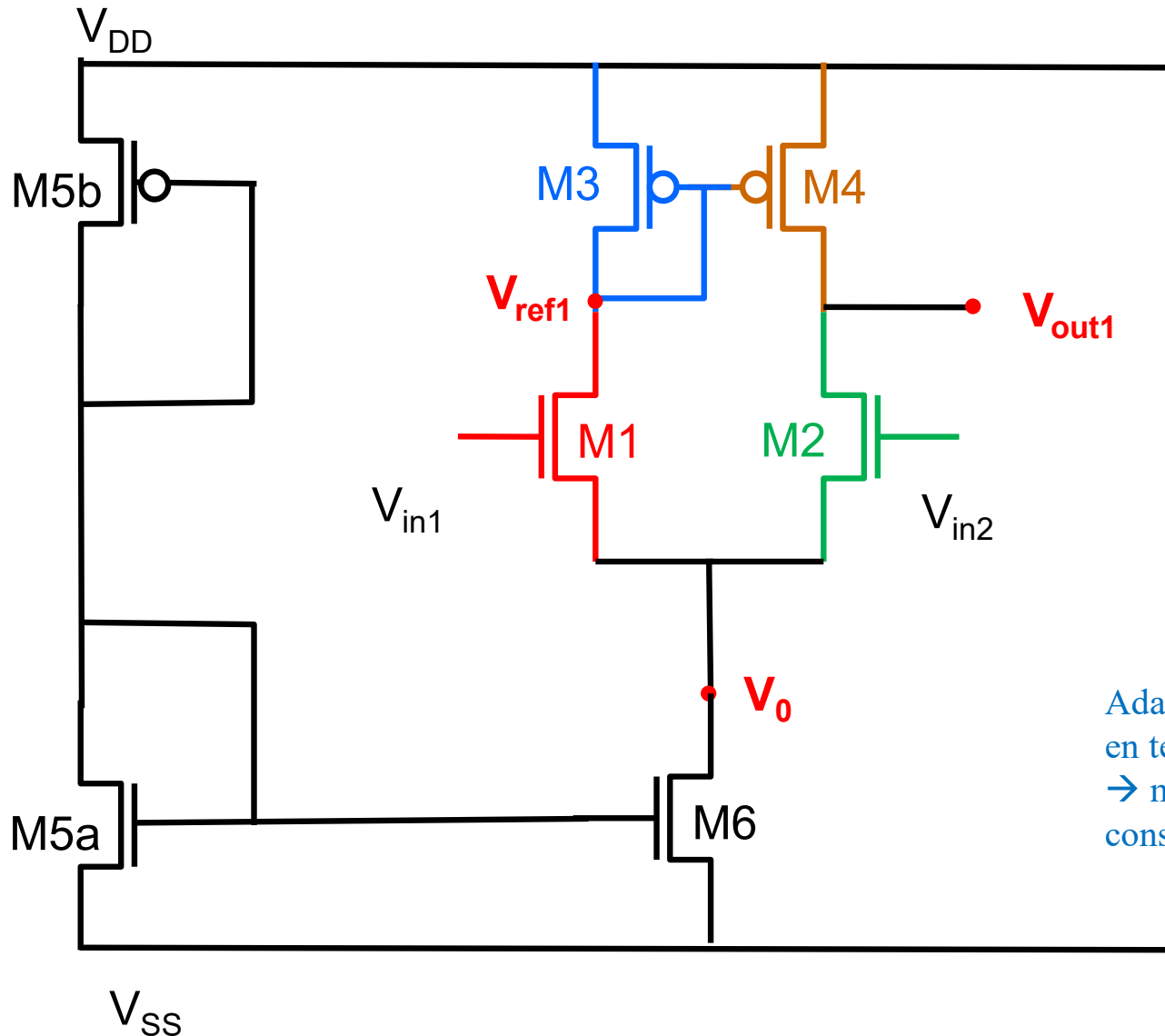
$$\frac{g_{m1,2}}{I_0} = \frac{2}{(V_{in0} - V_0) - V_{M0}} = \left(\sqrt{2 \frac{W}{L} \mu_n C_{ox} n} \right) \cdot \frac{1}{\sqrt{I_0}}$$

Differential amplifier: introduction d'une source de courant



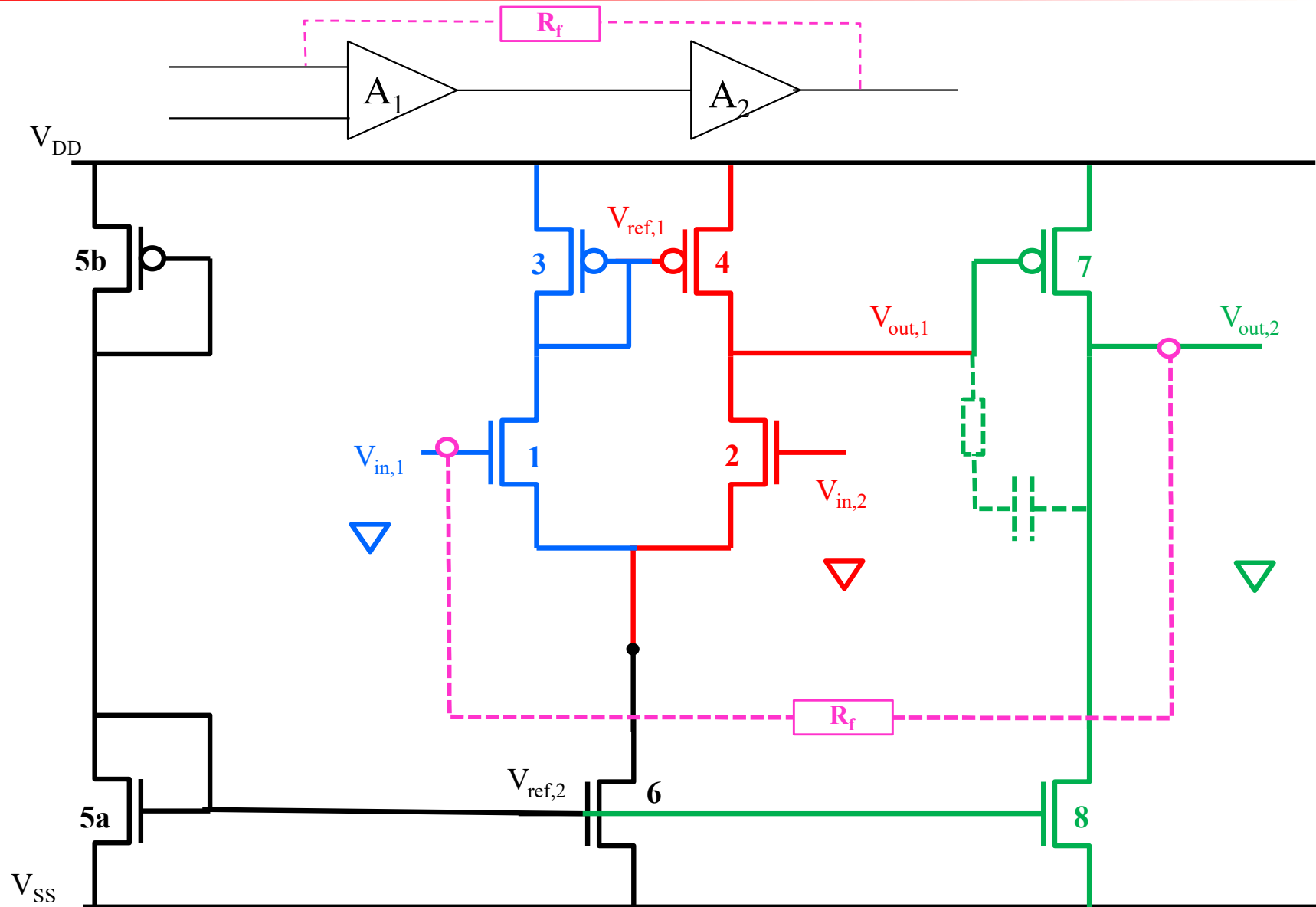
Mode commun: le courant dans chaque branche est constant à I_0 , donc V_{out1} est indépendant de l'entrée V_{in0}

Differential amplifier: introduction d'une source de courant

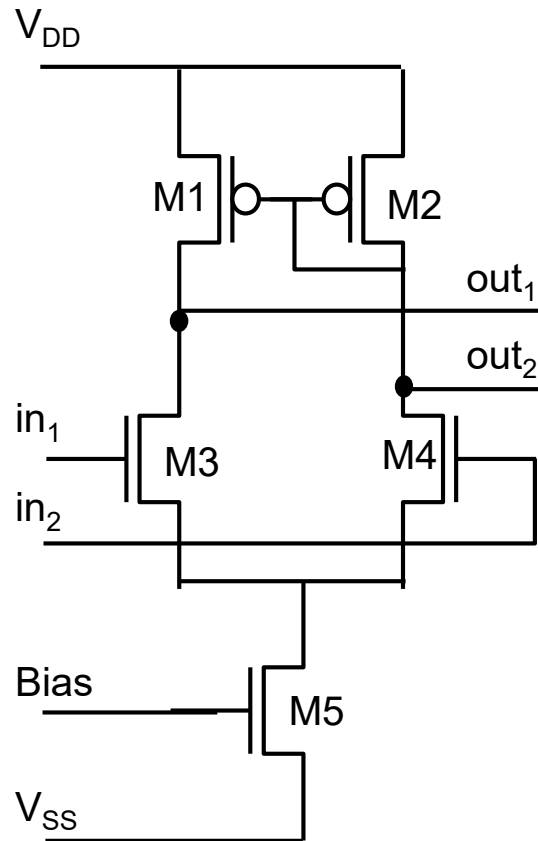


Adapter la tension en V_0
en tenant I_c constant
→ maintenir g_{m1} et g_{m2}
constantes.

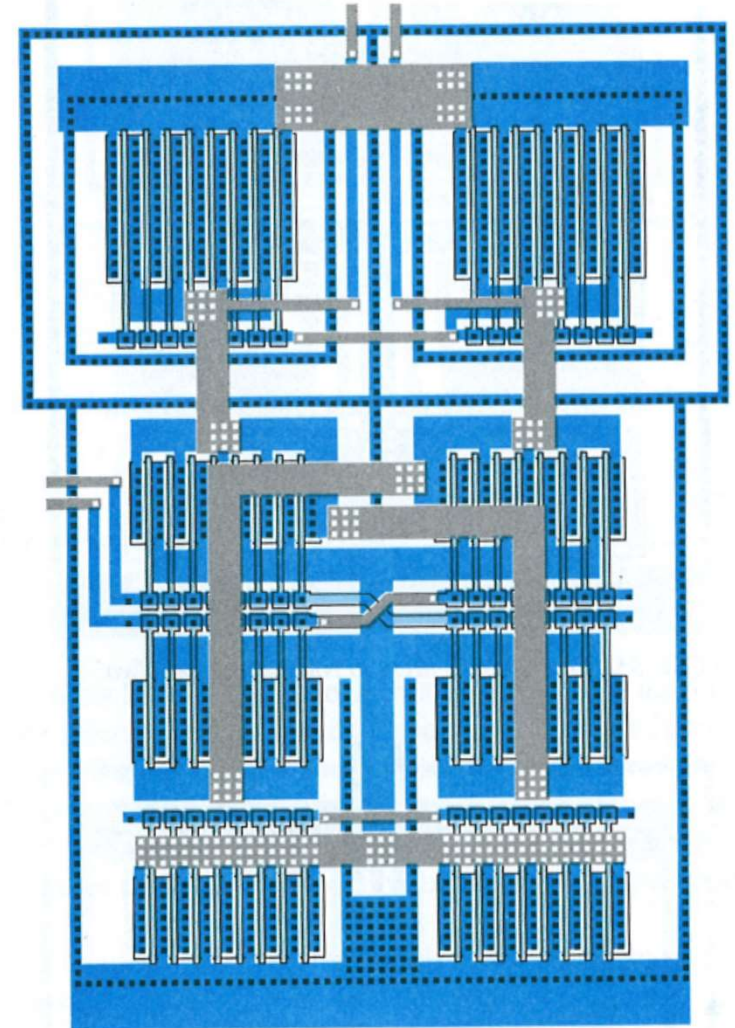
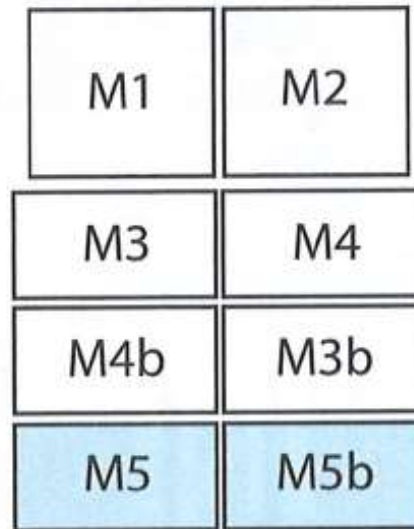
Op-Amp: two stages (2)



Schématique

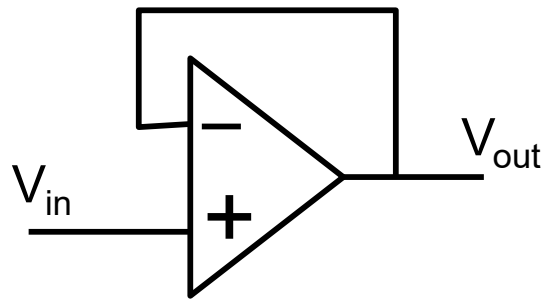


Ampli différentiel



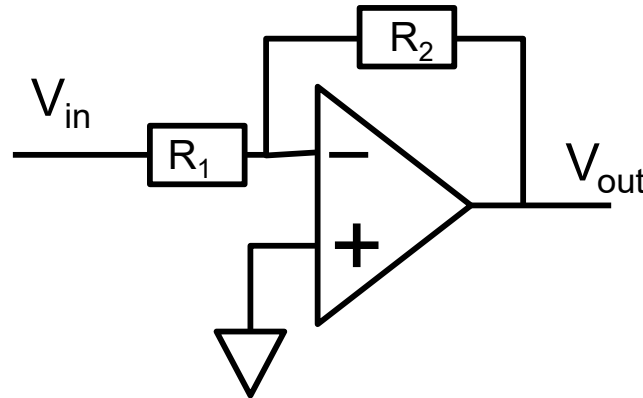
Ch. Saint, « IC mask design »,
2002 McGraw-Hill

Exemples: Opam avec boucle de feedback



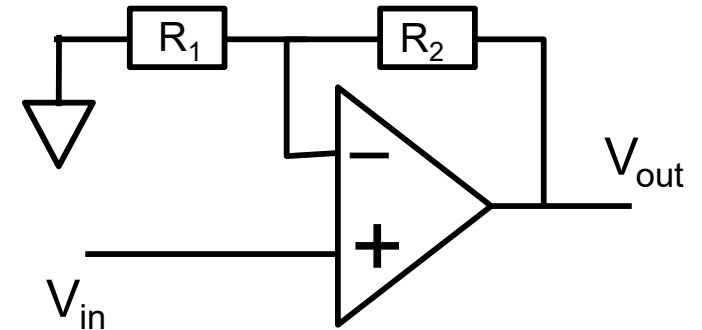
Suiveur

$$V_{out} = V_{in}$$



Ampli inverseur

$$V_{out} = -\frac{R_2}{R_1} \cdot V_{in}$$



Ampli non-inverseur

$$V_{out} = \left(\frac{R_1 + R_2}{R_1} \right) \cdot V_{in}$$

■ ■ ■

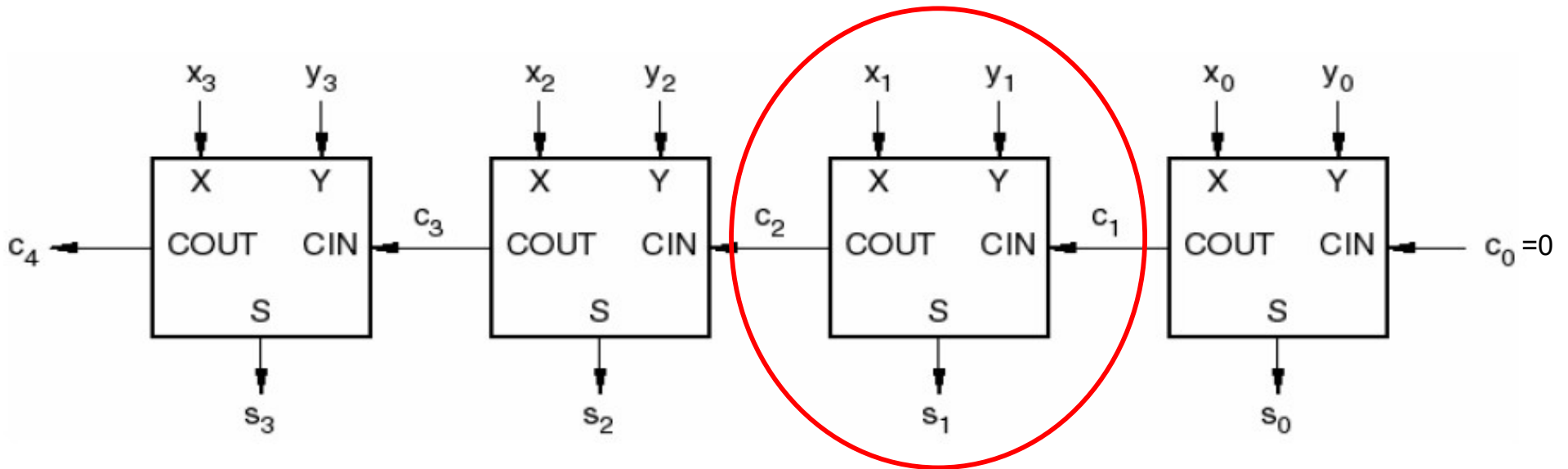


Principe

$$\begin{array}{r}
 c_4 \ c_3 \ c_2 \ c_1 \ 0 \\
 \quad x_3 \ x_2 \ x_1 \ x_0 \\
 + \quad y_3 \ y_2 \ y_1 \ y_0 \\
 \hline
 = \ c_4 \ s_3 \ s_2 \ s_1 \ s_0
 \end{array}$$

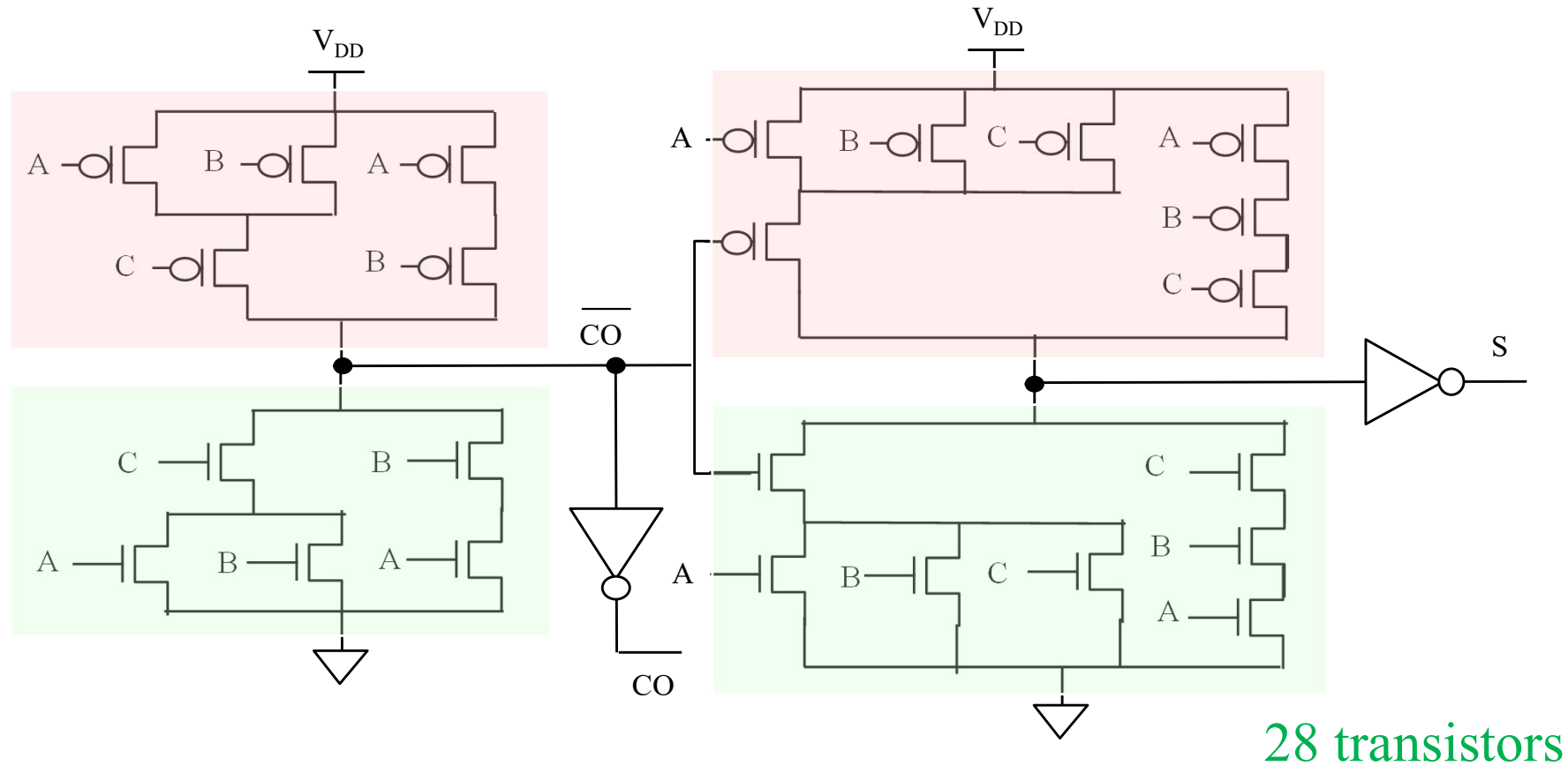
Exemple d'addition binaire:
 $1101 + 1001 = 10110$

$$\begin{array}{r}
 \quad 10010 \quad C \\
 \quad 1101 \quad A \\
 + \quad 1001 \quad B \\
 \hline
 = \quad 10110 \quad S
 \end{array}$$





Calculez la table de vérité et montrez qu'elle correspond à une addition binaire

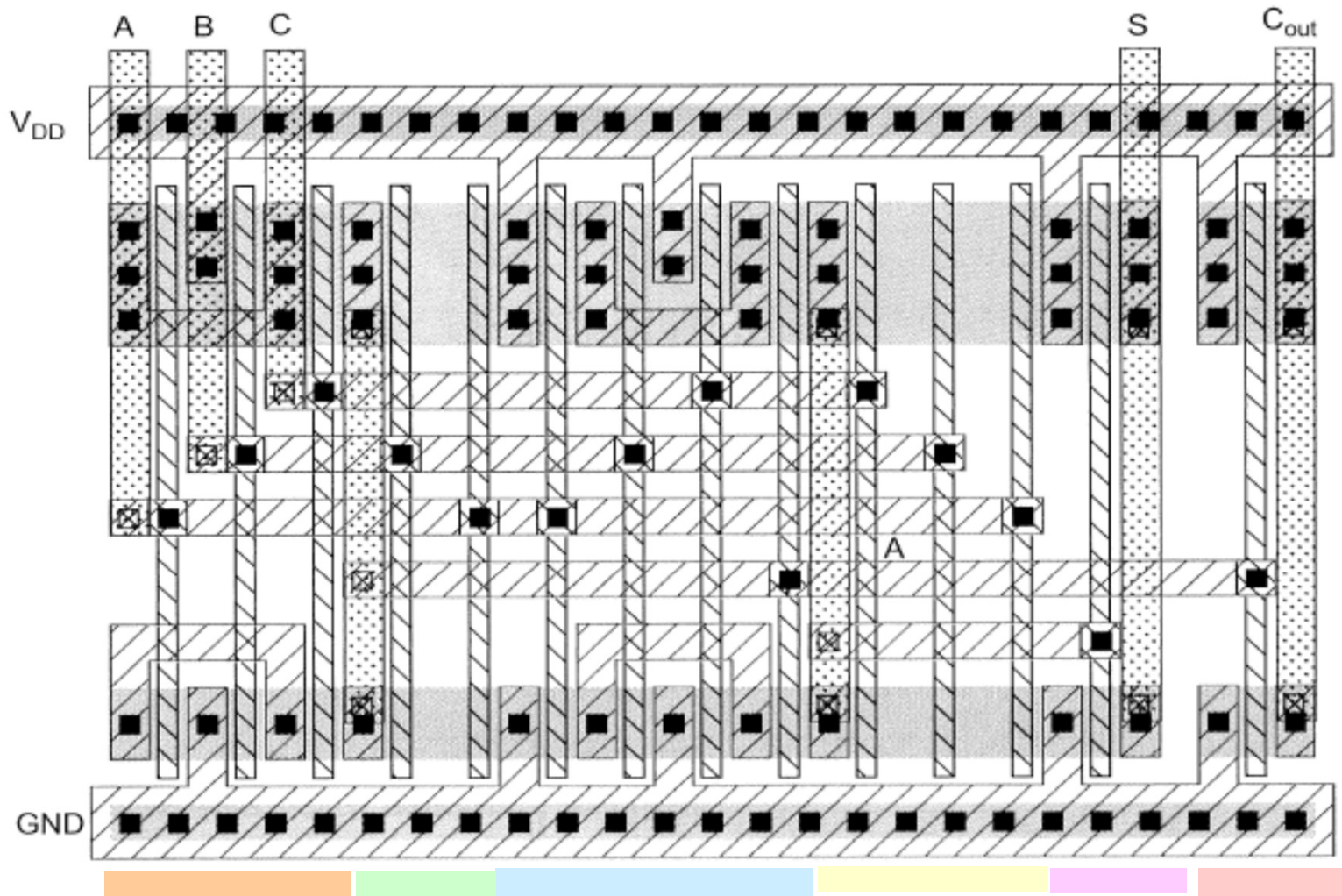


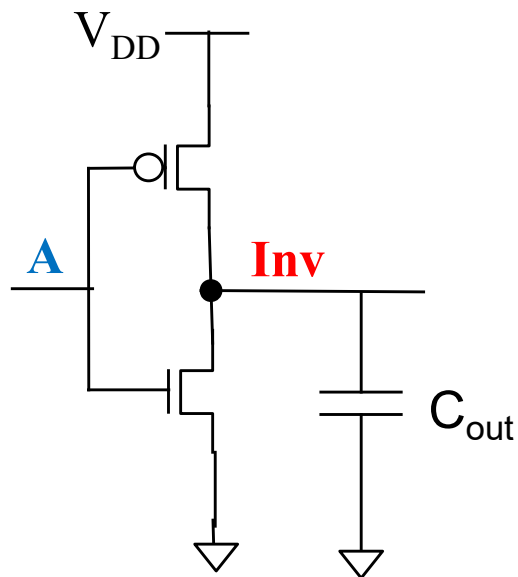
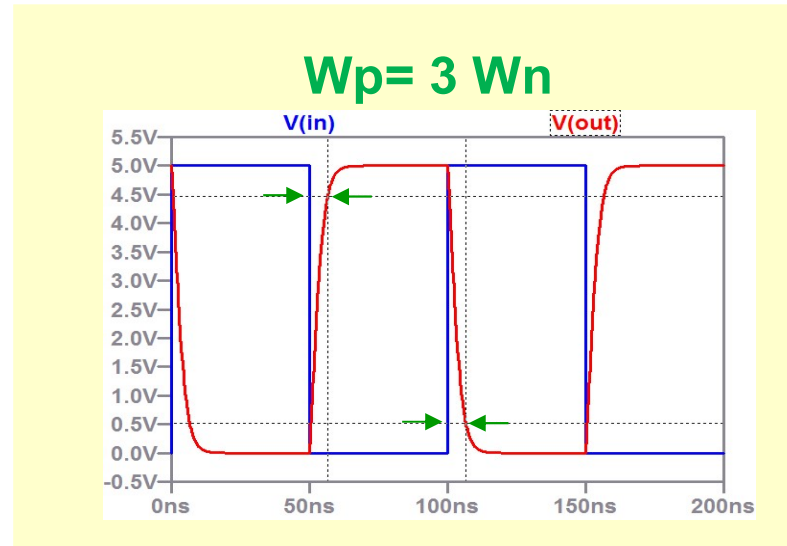
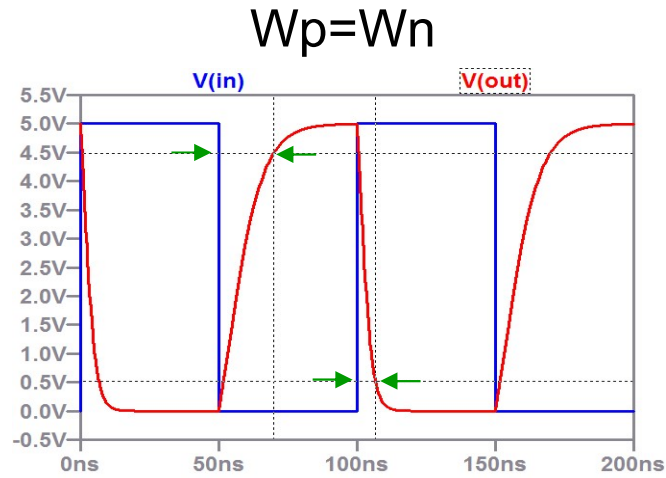
Zimmermann, Fichtner, IEEE journal of solid-state circuits, Vol. 32, No. 7, pp. 1-12.

Layout du « full adder » de l'exercice E12.2

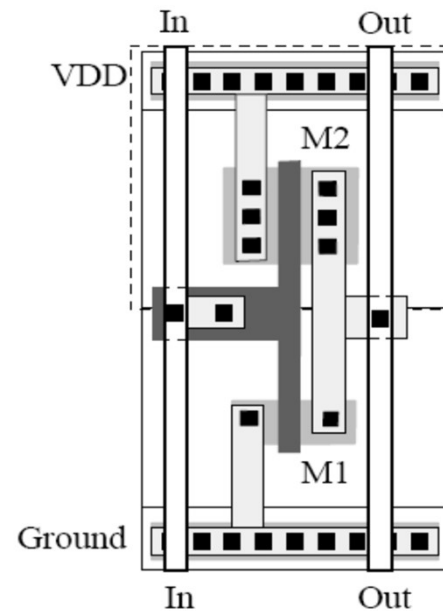


Weste/Harris, « CMOS VLSI design », Addison-Wesley

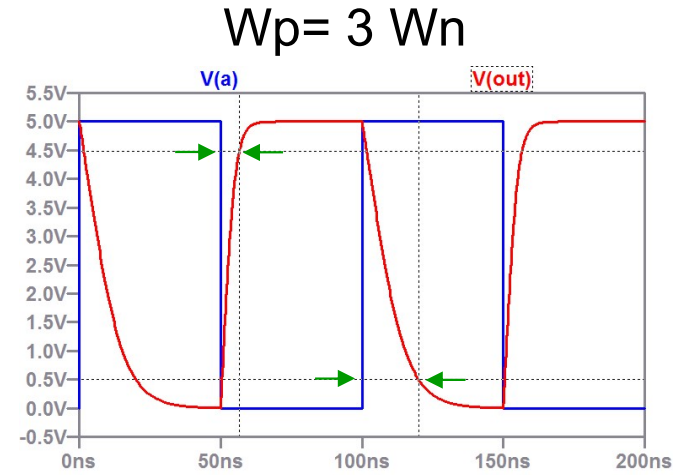
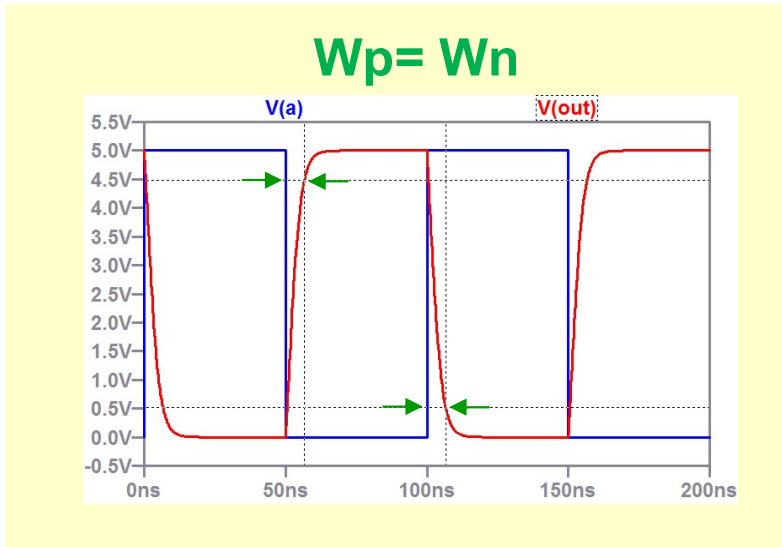




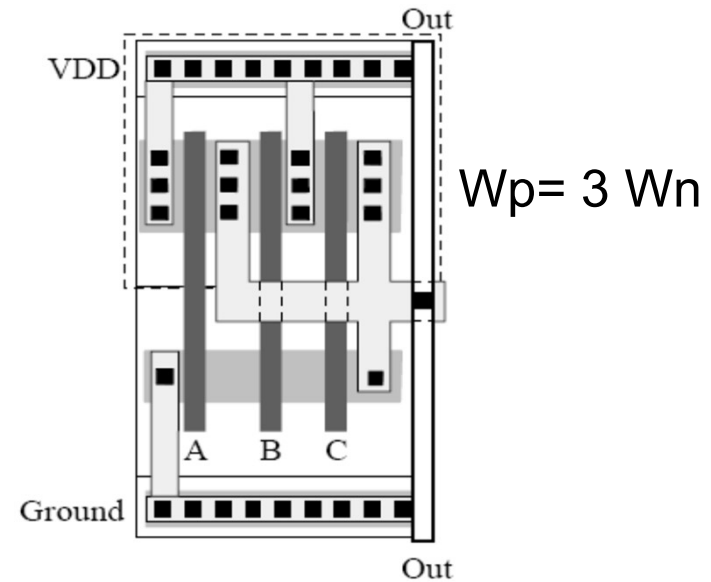
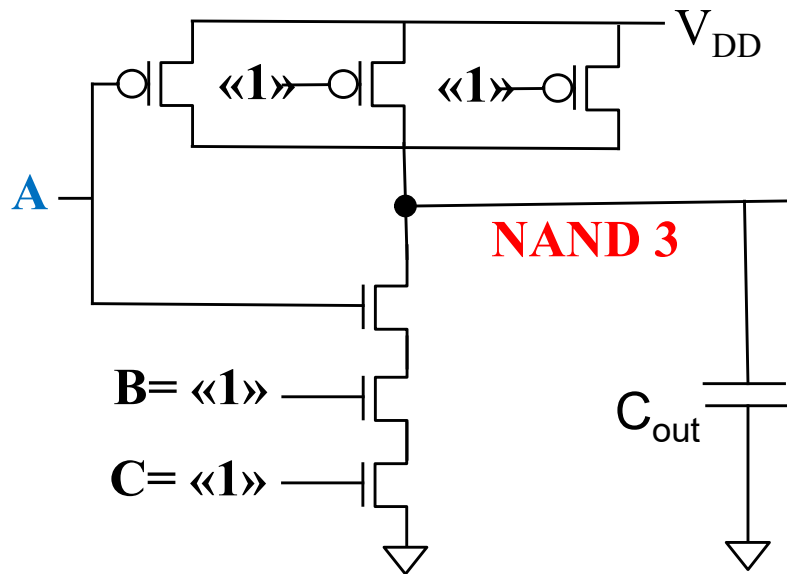
Inverseur



$W_p = 3 W_n$

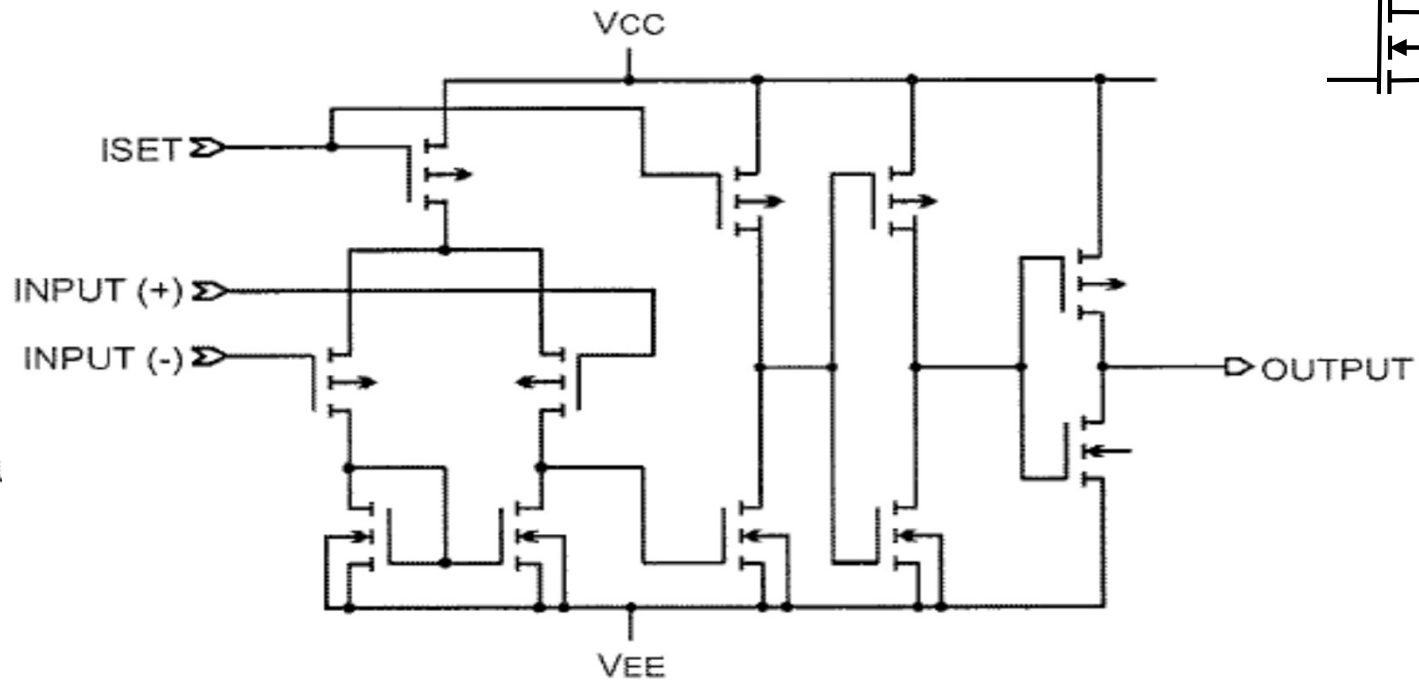
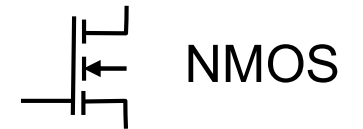
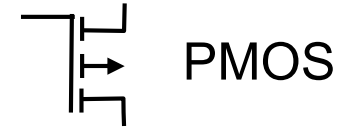


NAND 3





Interprétez ce schéma:



MC14574 from Motorola Semiconductor

Exercice E13.2: Ampli de tension avec NMOS



Utilisez un NMOS comme ampli de tension.
Inspirez-vous du chapitre 7 sur les BJT.
Remplacez le transistor bipolaire par un NMOS !